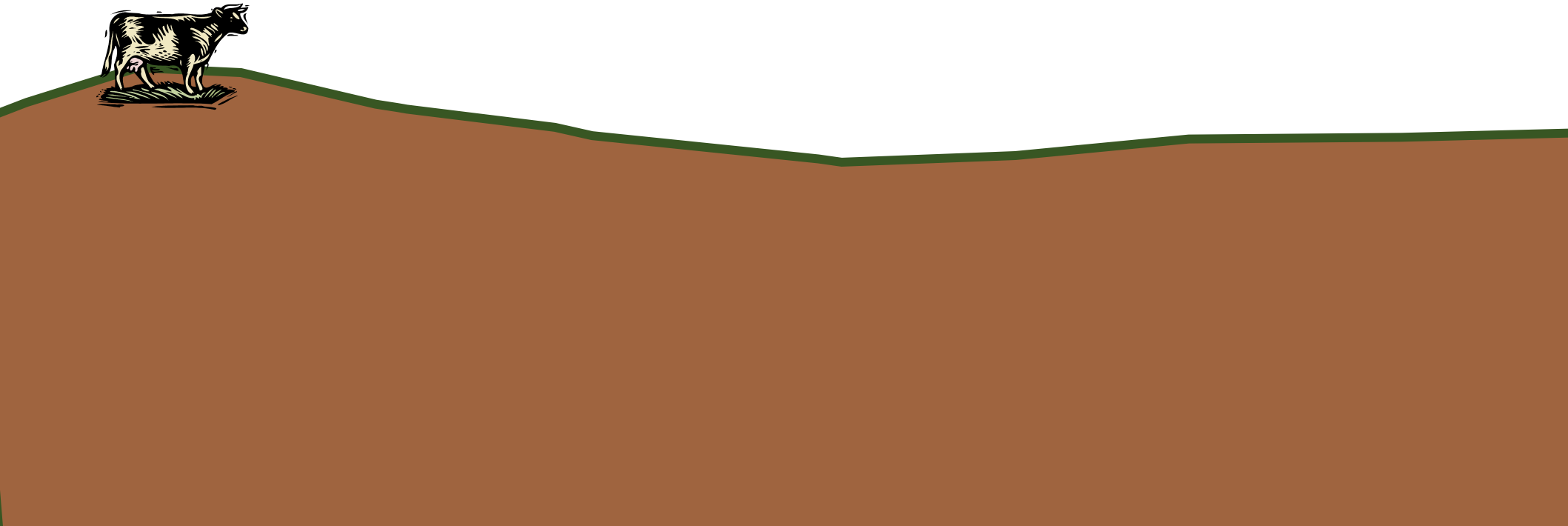


Integração de métodos geofísicos

Apresentação do curso e objetivos

Em um levantamento geofísico



Determinar o que está embaixo da
superfície



?

Determinar o que está embaixo da superfície

Energia



Determinar o que está embaixo da superfície

Energia



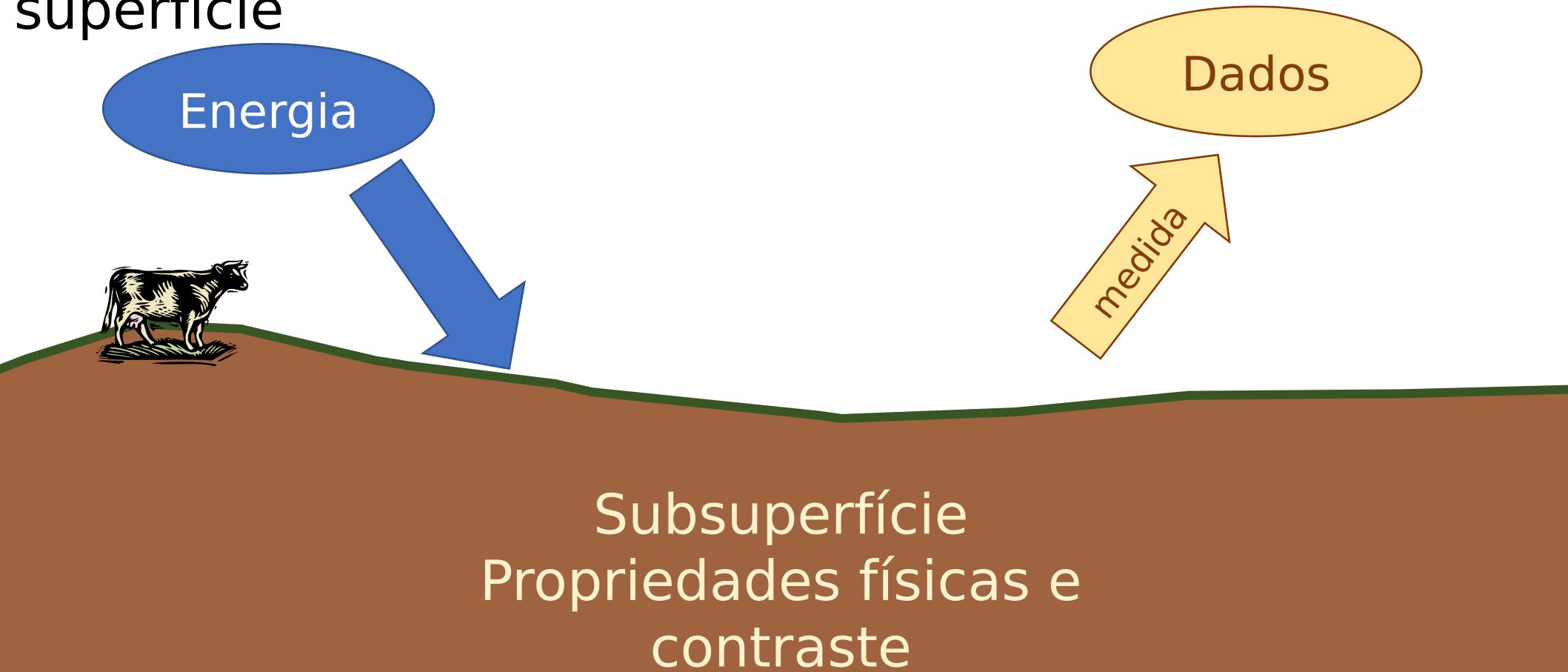
Determinar o que está embaixo da superfície

Energia



Subsuperfície
Propriedades físicas e
contraste

Determinar o que está embaixo da superfície

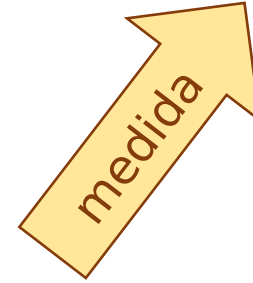


Energia



Os materiais da
Terra podem ser
caracterizados em
termos de suas
propriedades físicas.

Dados



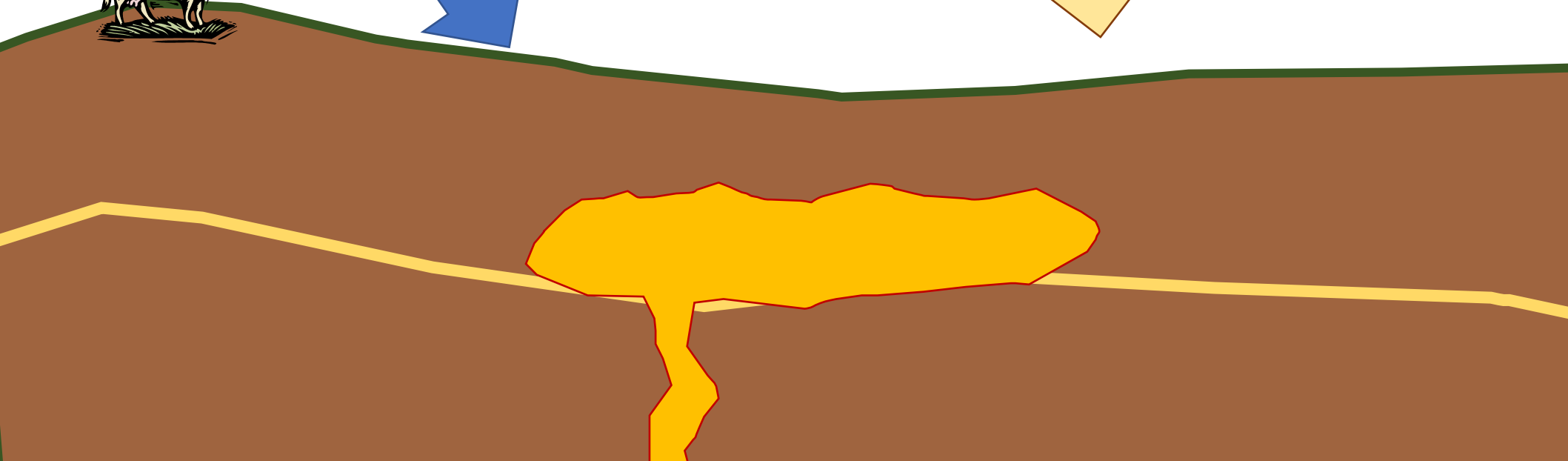
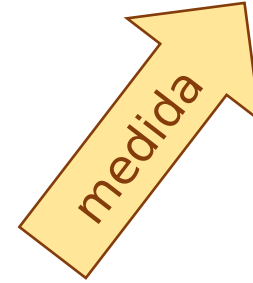
Subsuperfície
Propriedades físicas e
contraste

Os materiais da
Terra podem ser
caracterizados em
termos de suas
propriedades físicas.

Energia



Dados



Os materiais da Terra podem ser caracterizados em termos de suas propriedades físicas.

Energia

Dados

medida



condutividade elétrica

permissividade dielétrica

permeabilidade magnética

densidade

magnetização

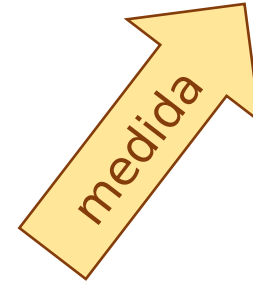
impedância acústica



Energia



Dados



Contém
informação das
propriedades
físicas da terra

condutividade elétrica

permissividade dielétrica

permeabilidade magnética

densidade

magnetização

impedância acústica

Embora os dados contenham informações sobre a subsuperfície, o processamento e inversão dos dados são necessários para extrair informações significativas.

Energia

Dados

medida

condutividade elétrica

permissividade dielétrica

permeabilidade magnética

densidade

magnetização

impedância acústica



Propriedades
físicas



condutividade elétrica

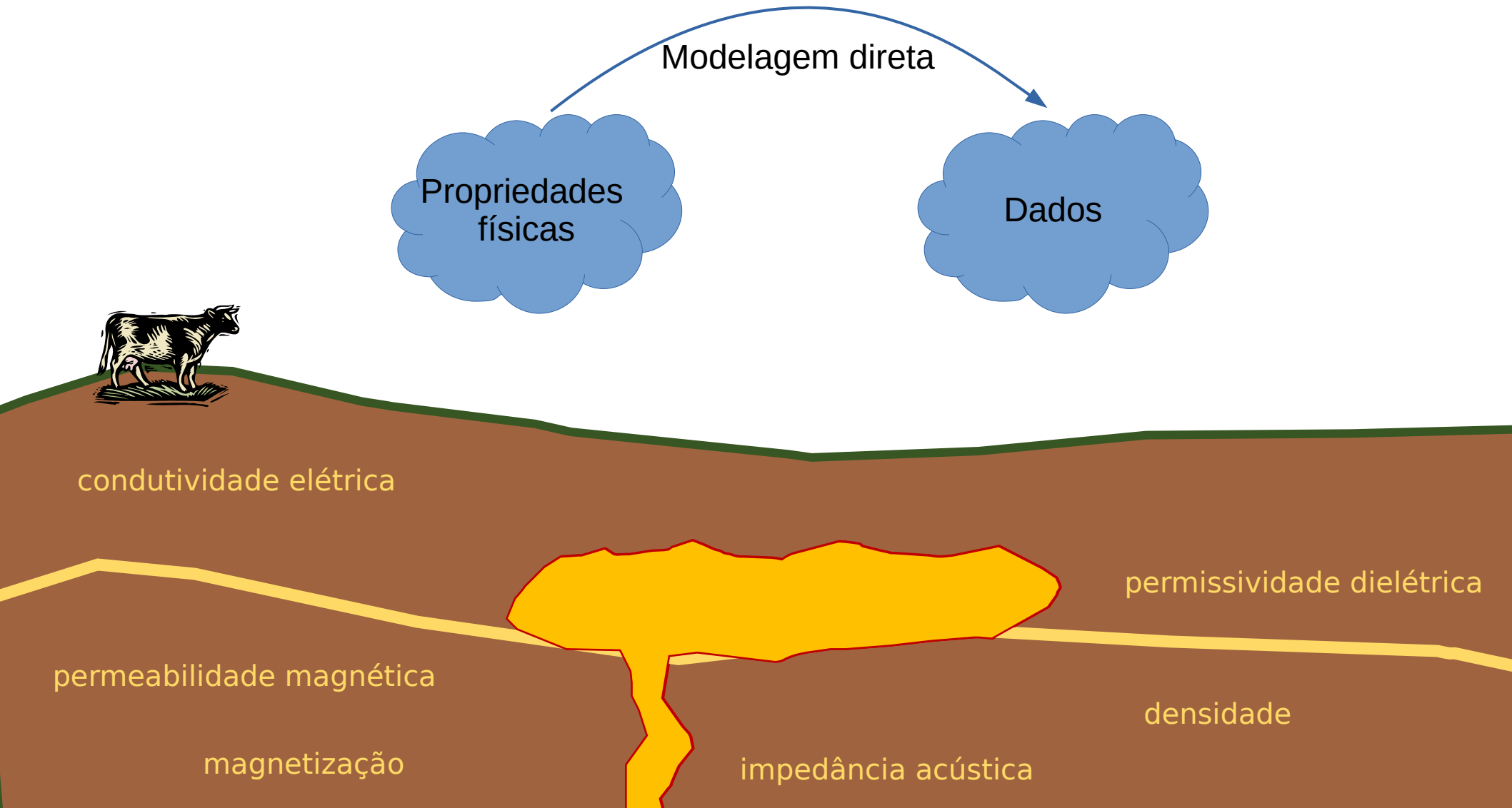
permissividade dielétrica

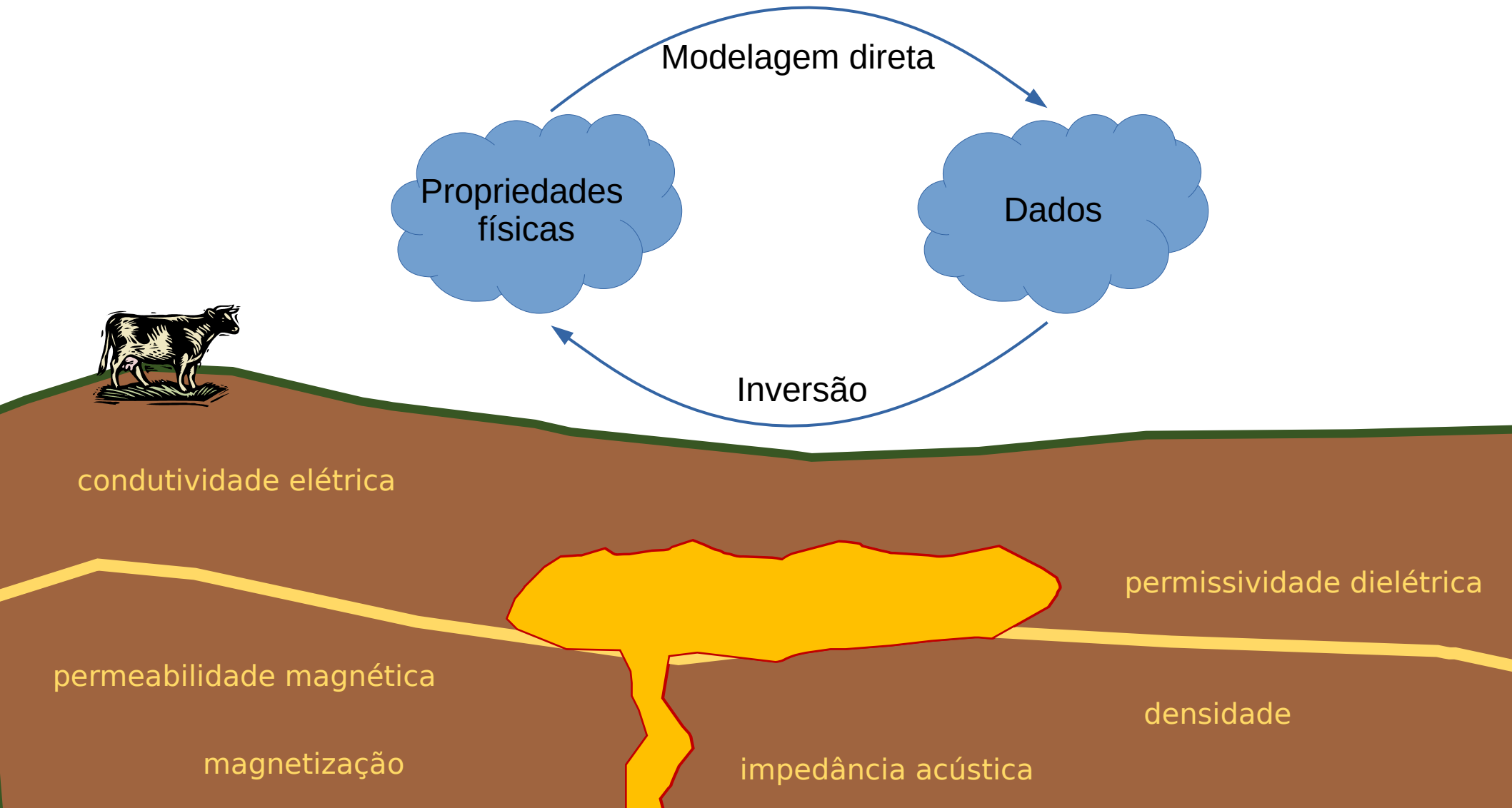
permeabilidade magnética

densidade

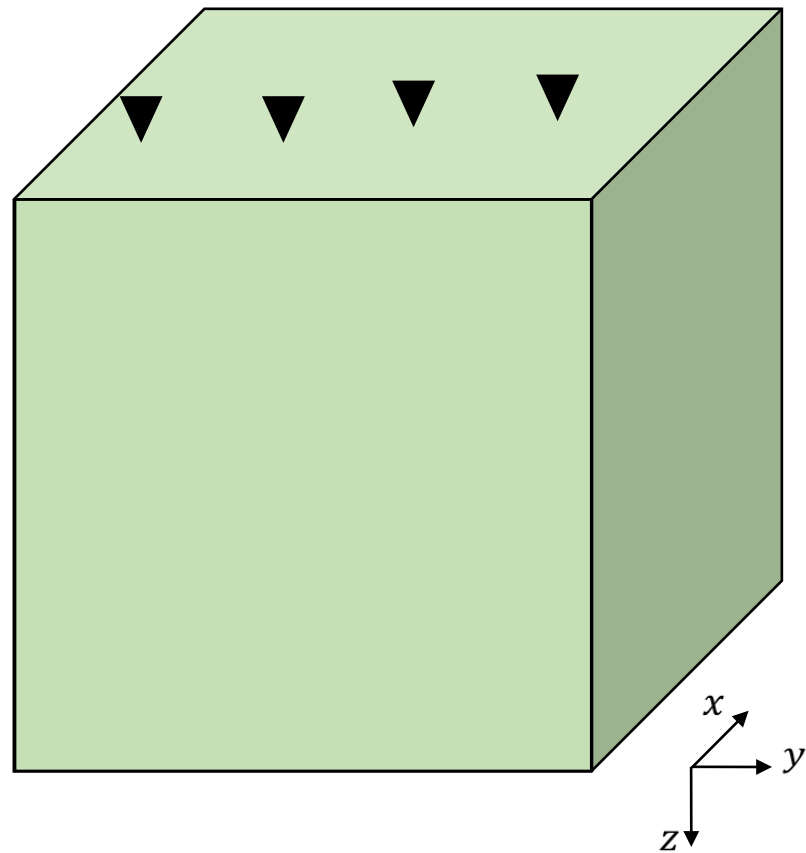
magnetização

impedância acústica

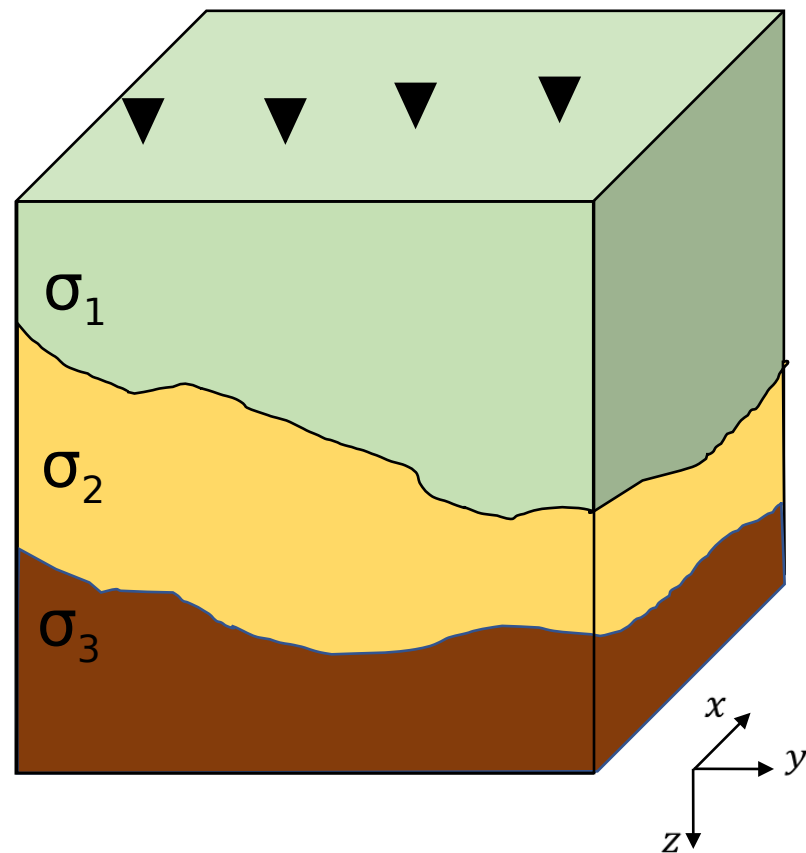




Modelagem

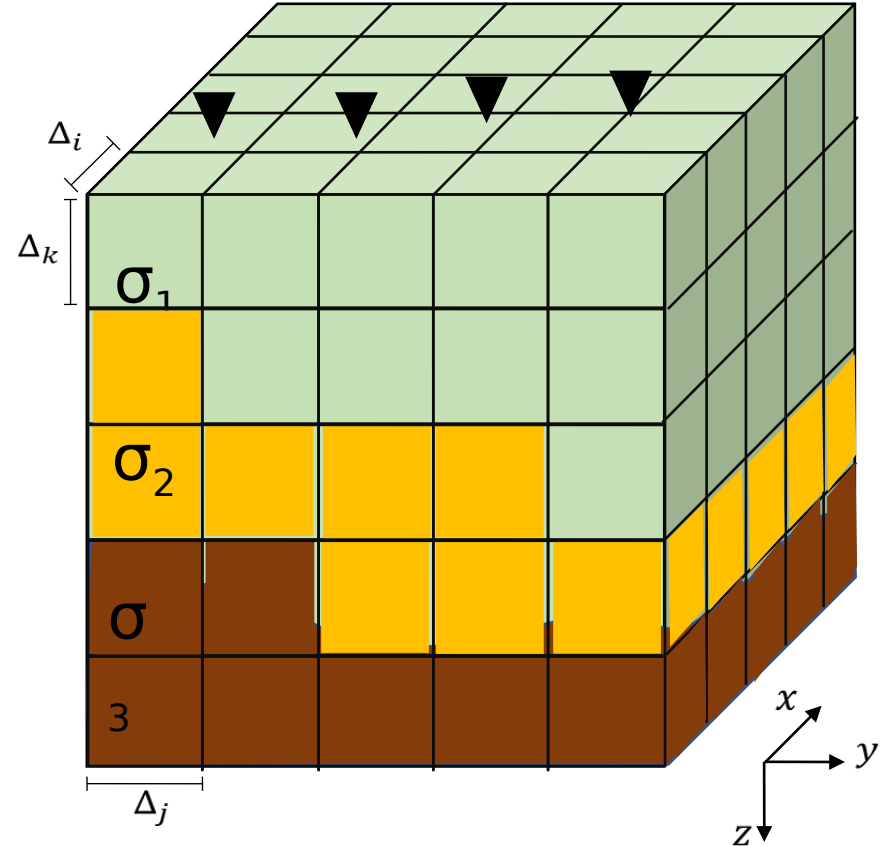


Modelagem



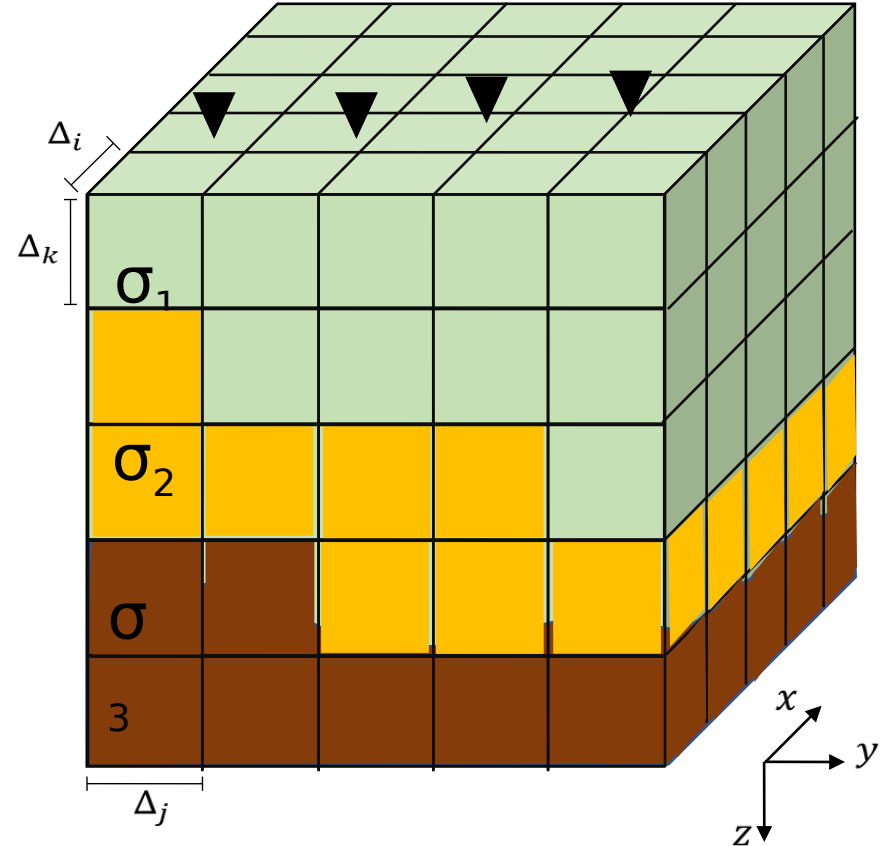
Modelagem

Diferenças Finitas



Modelagem

Dimensões e
propriedades
físicas conhecidas

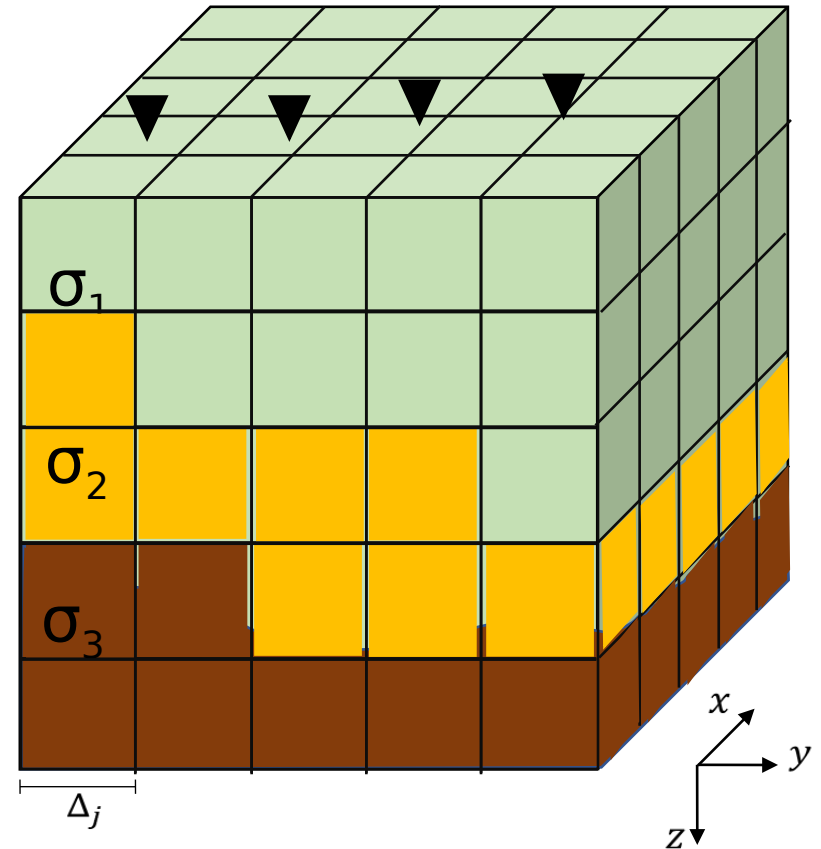


Modelagem

Métodos EM

Vetor de parâmetros

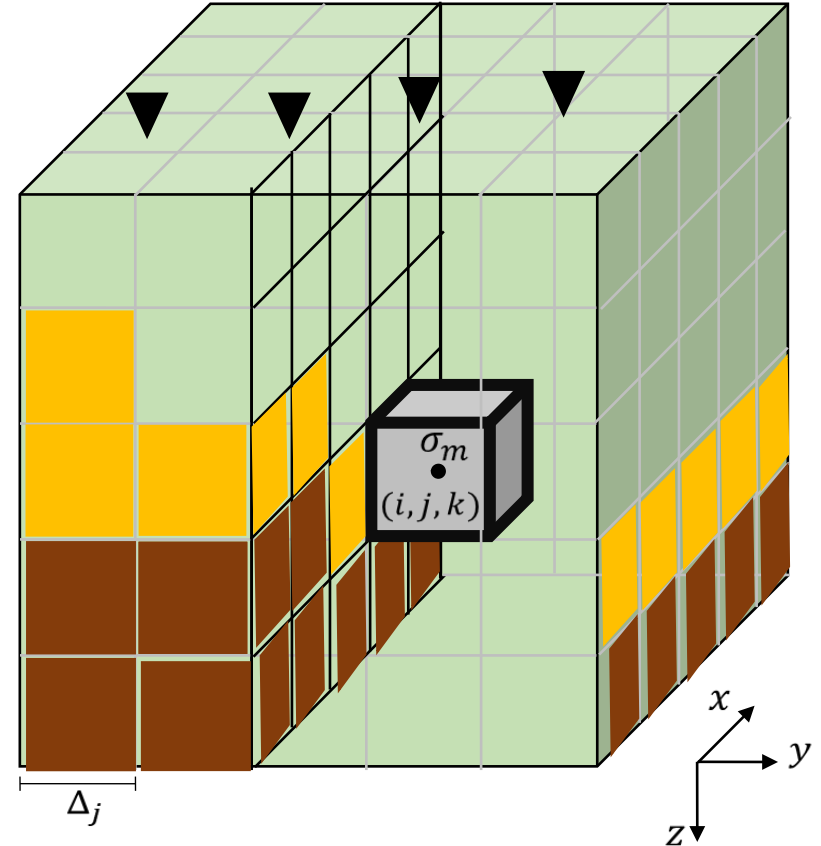
$$\sigma = \begin{bmatrix} \sigma_1 \\ \sigma_2 \\ \vdots \\ \sigma_M \end{bmatrix}$$



Modelagem

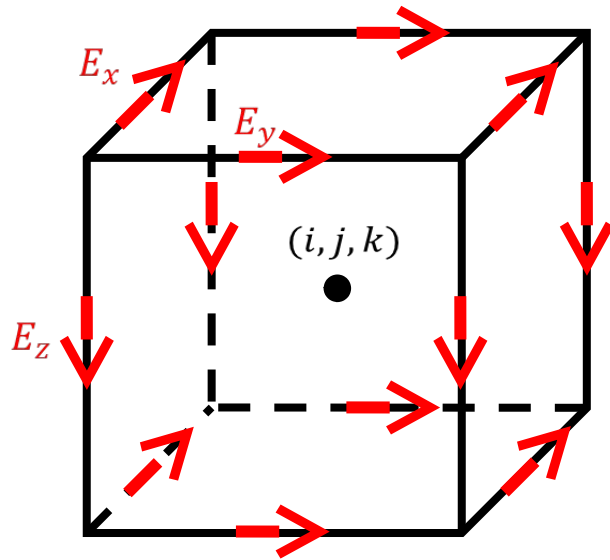
Métodos EM

Calcula-se o campo elétrico para cada prisma – simula-se a propagação dos campos EM em todos os prismas do modelo

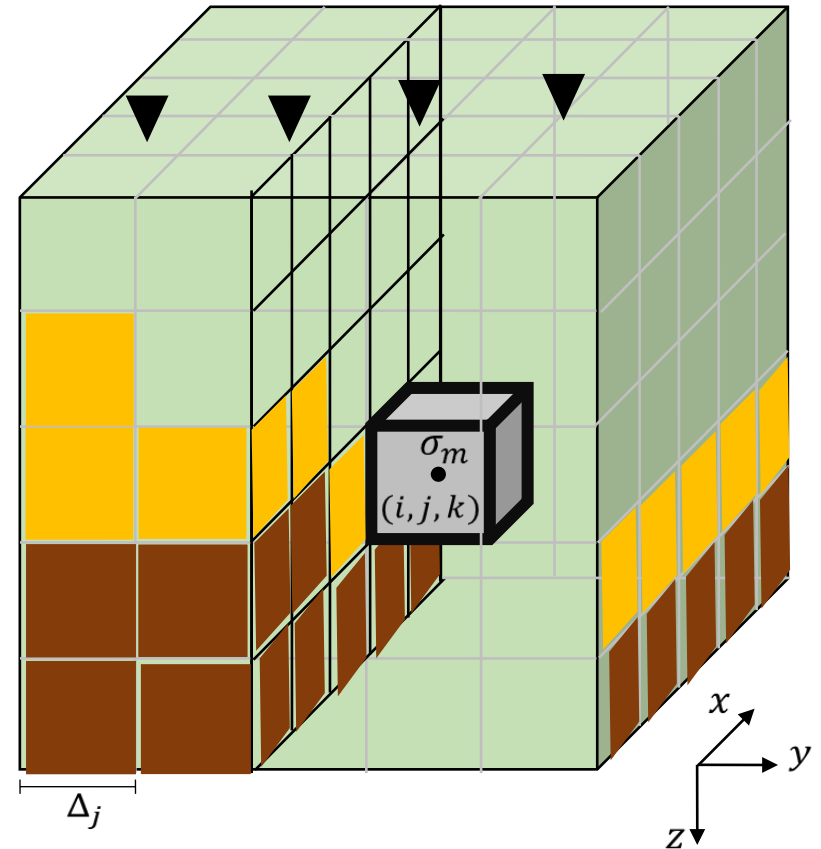


Modelagem

Métodos EM

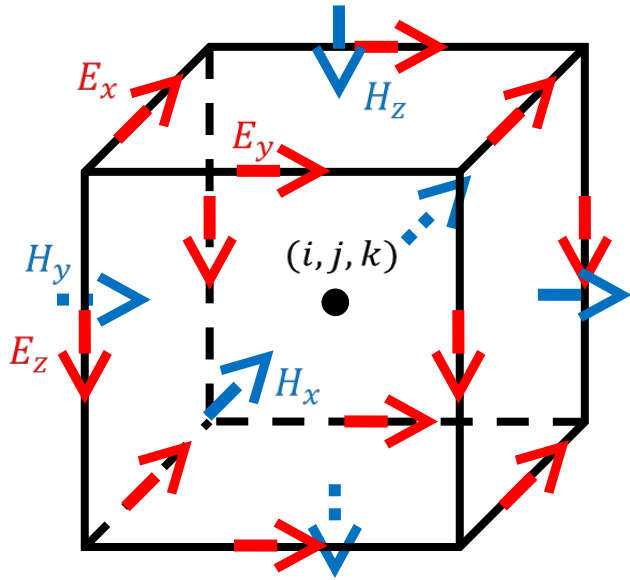


$$\nabla \times \nabla \times \mathbf{E} + i\mu\omega\sigma\mathbf{E} = 0$$



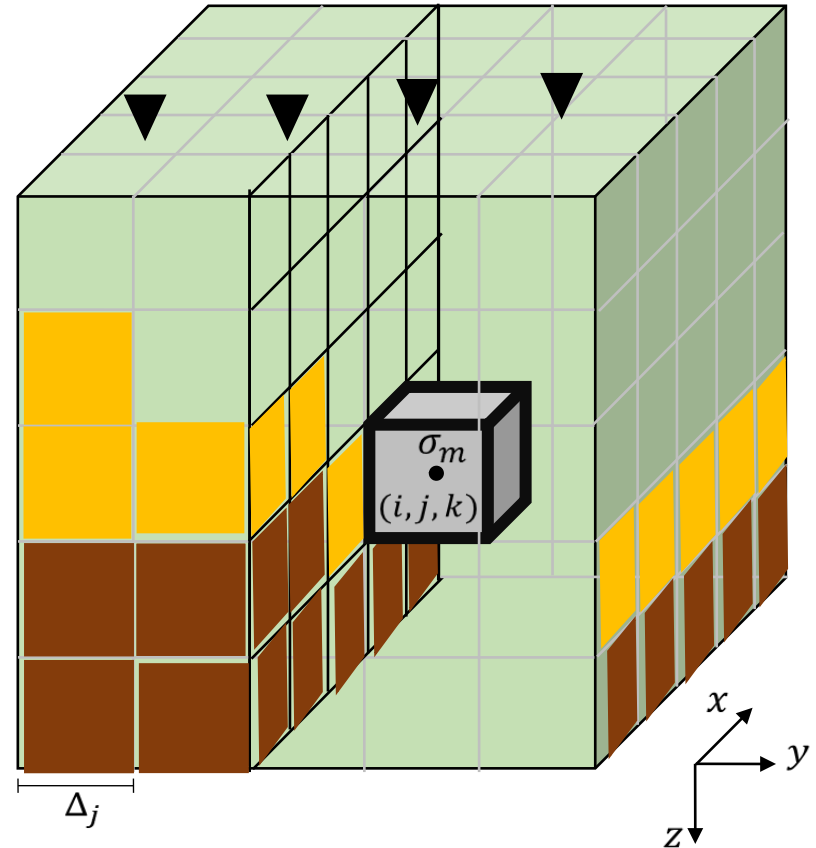
Modelagem

Métodos EM



$$\nabla \times \nabla \times \mathbf{E} + i\mu\omega\sigma\mathbf{E} = 0$$

$$\mathbf{H} = (-i\mu\omega)^{-1} \nabla \times \mathbf{E} = 0$$

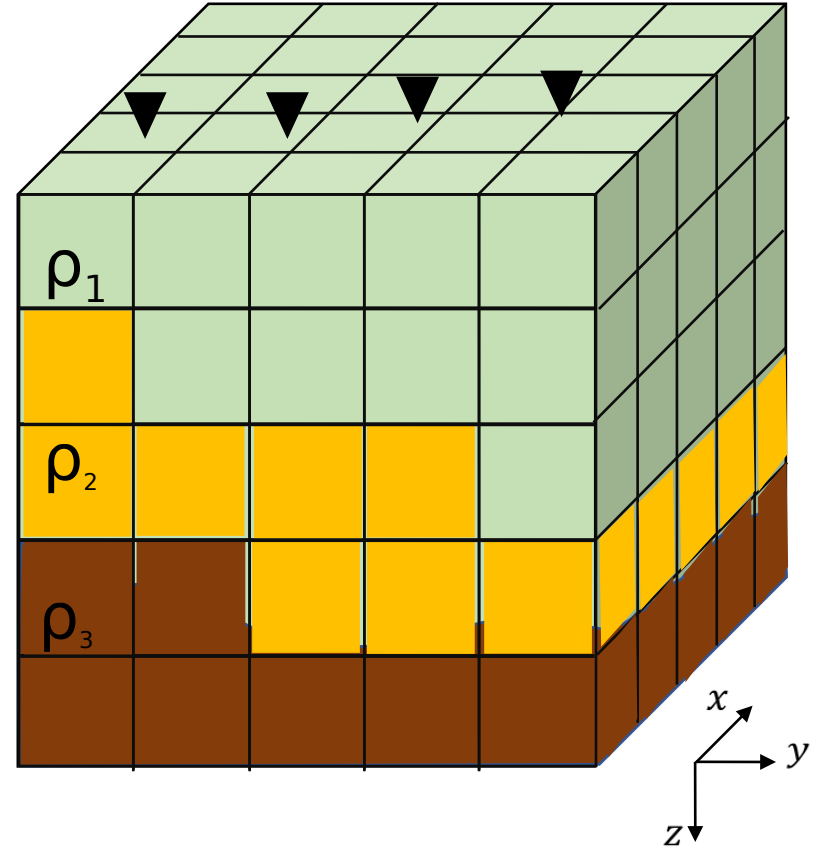


Modelagem

Métodos Potenciais

$$\boldsymbol{\rho} = \begin{bmatrix} \rho_1 \\ \rho_2 \\ \vdots \\ \rho_M \end{bmatrix}$$

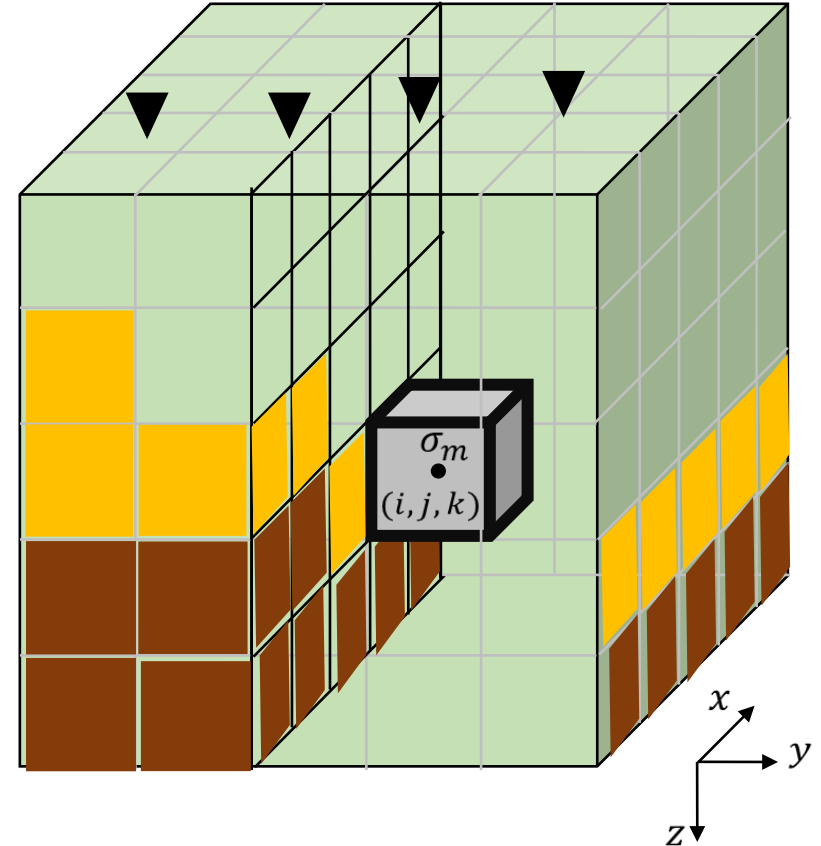
$$\mathbf{m} = \begin{bmatrix} m_1 \\ m_2 \\ \vdots \\ m_M \end{bmatrix}$$



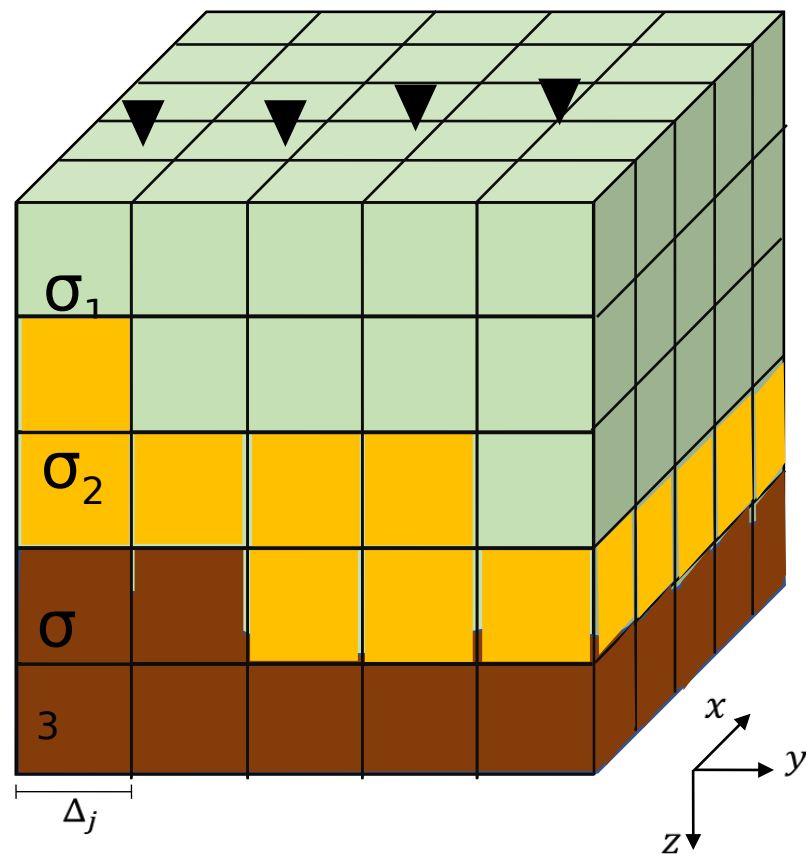
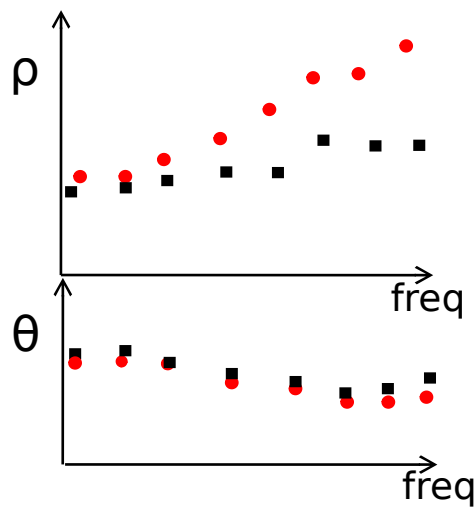
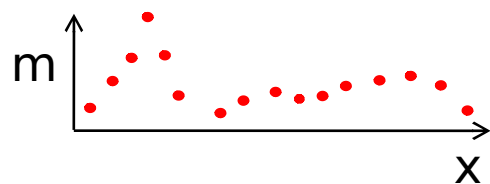
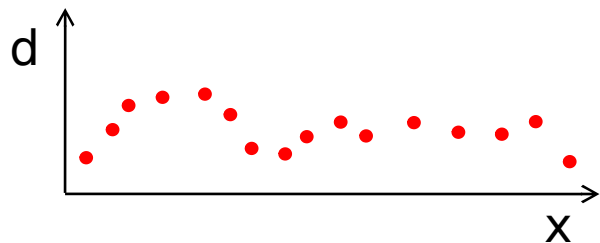
Modelagem

Métodos Potenciais

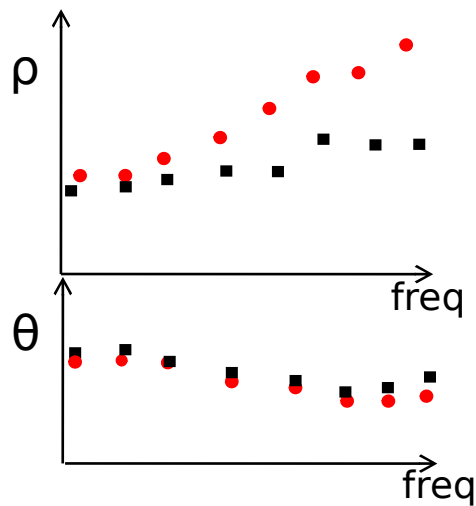
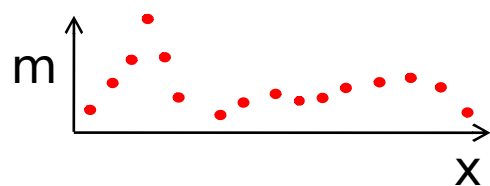
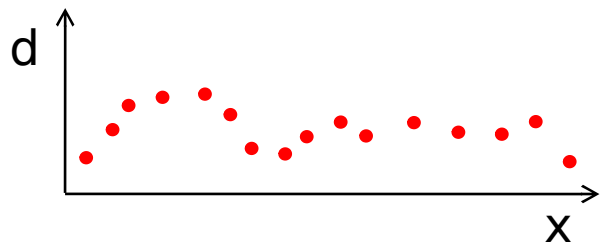
Calcula-se a soma do efeito gravitacional/magnético produzido por cada prisma nos pontos de observação



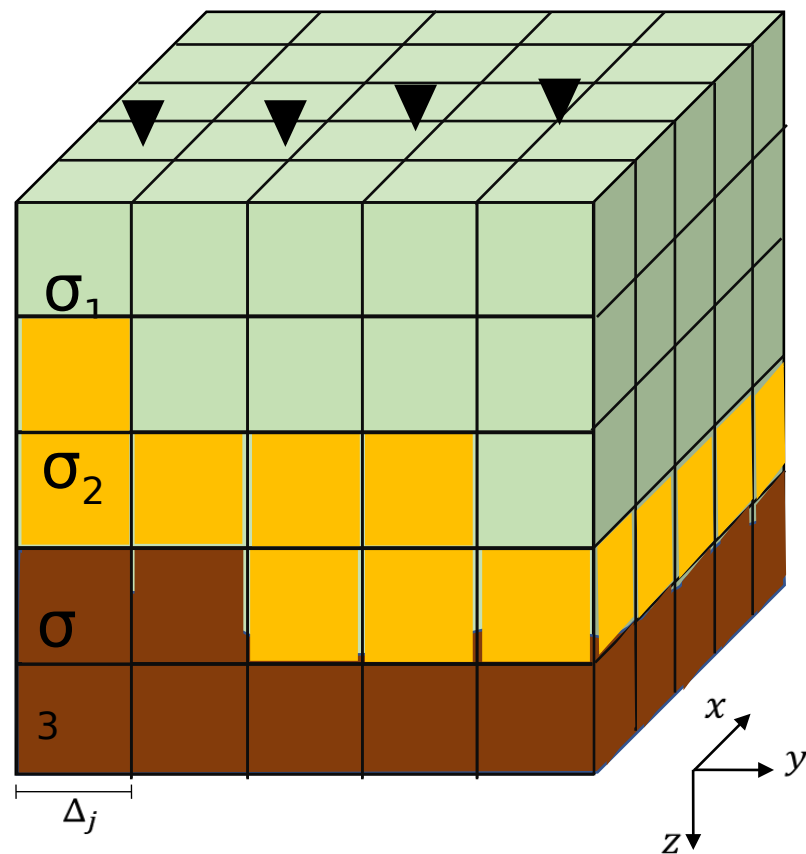
Modelagem

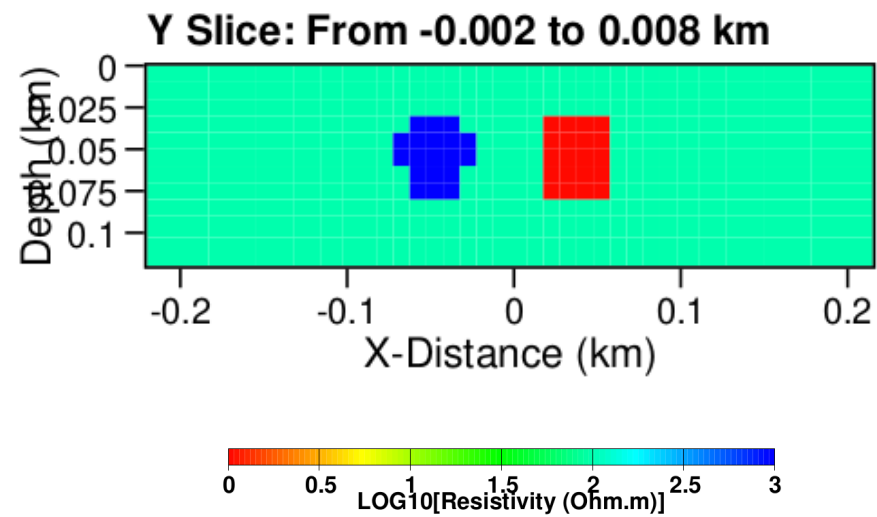
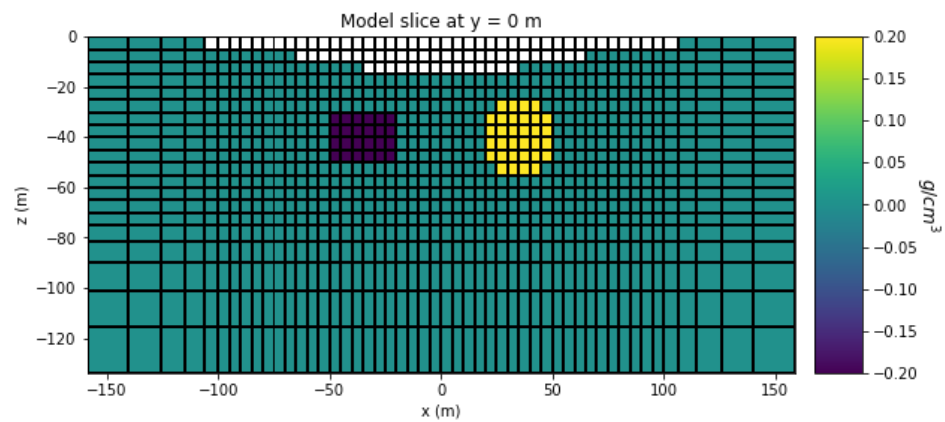


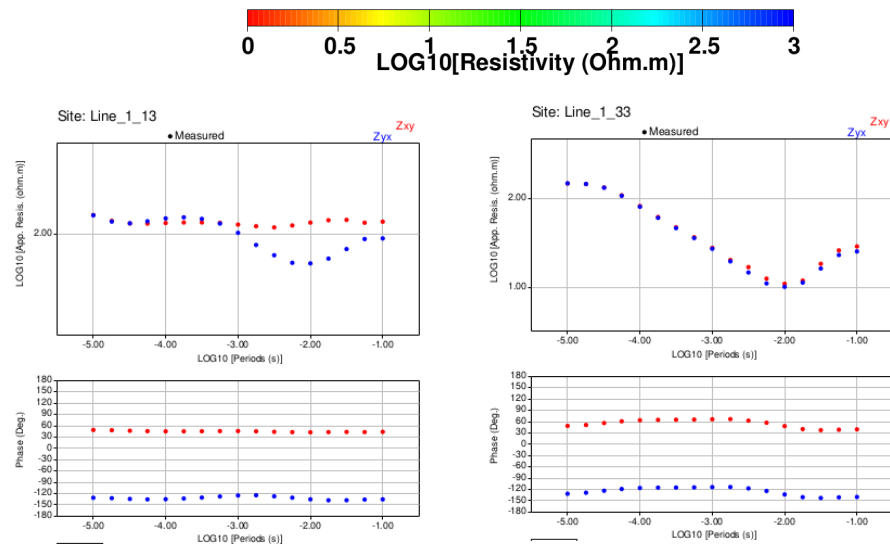
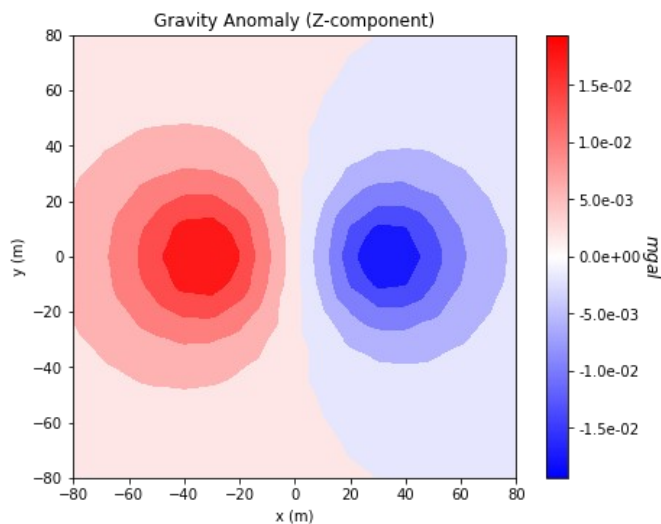
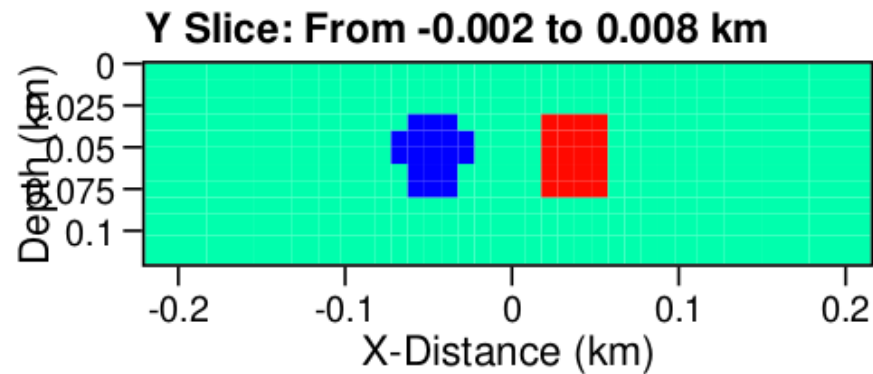
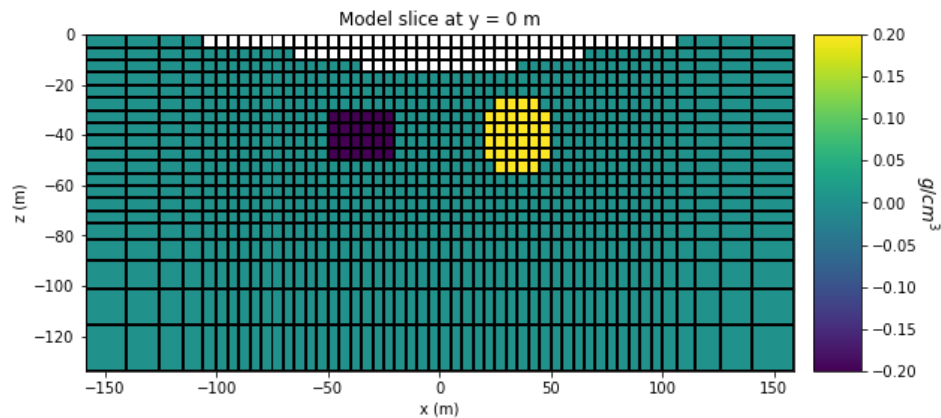
Modelagem



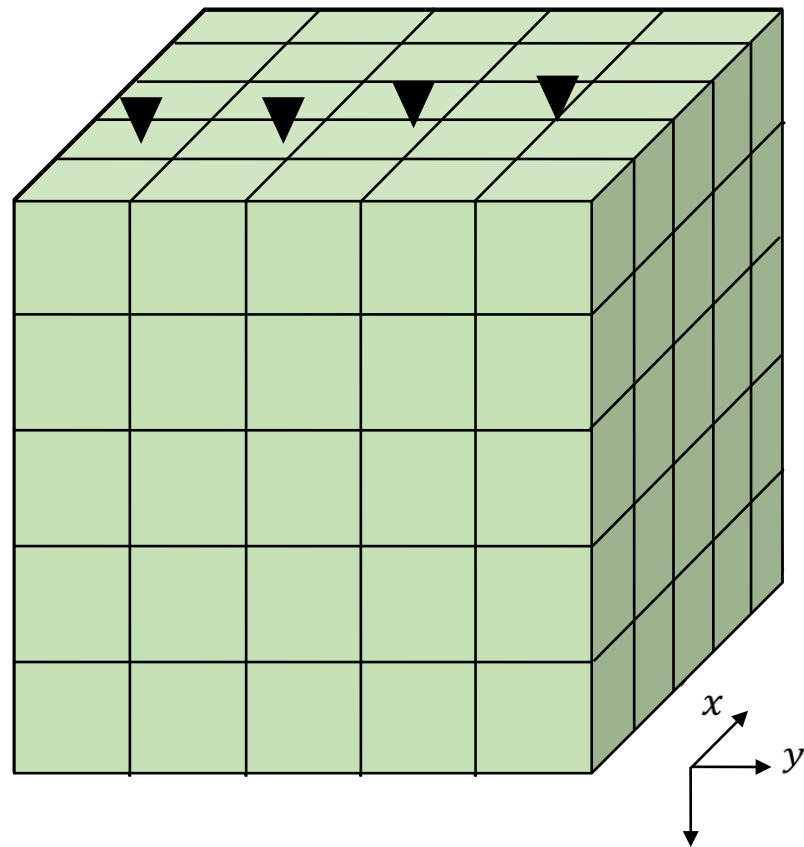
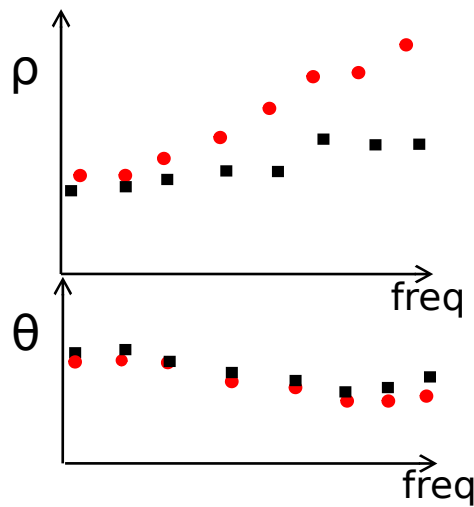
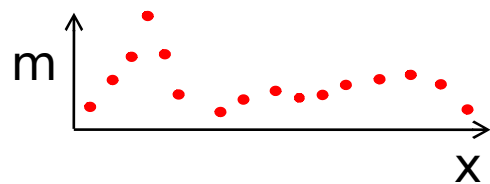
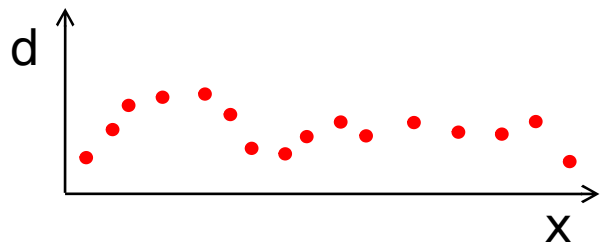
$$\mathbf{d}^p = \begin{bmatrix} d_1^p \\ d_2^p \\ \vdots \\ d_N^p \end{bmatrix}$$



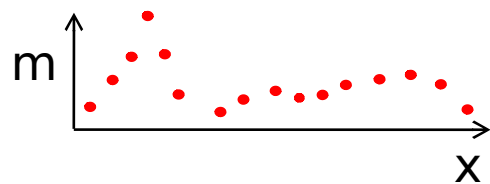
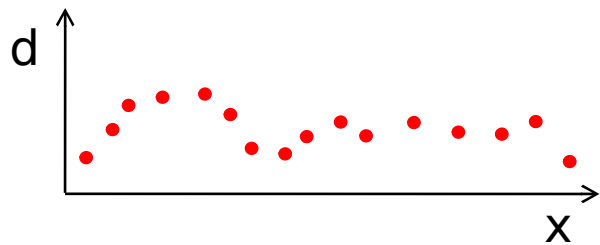




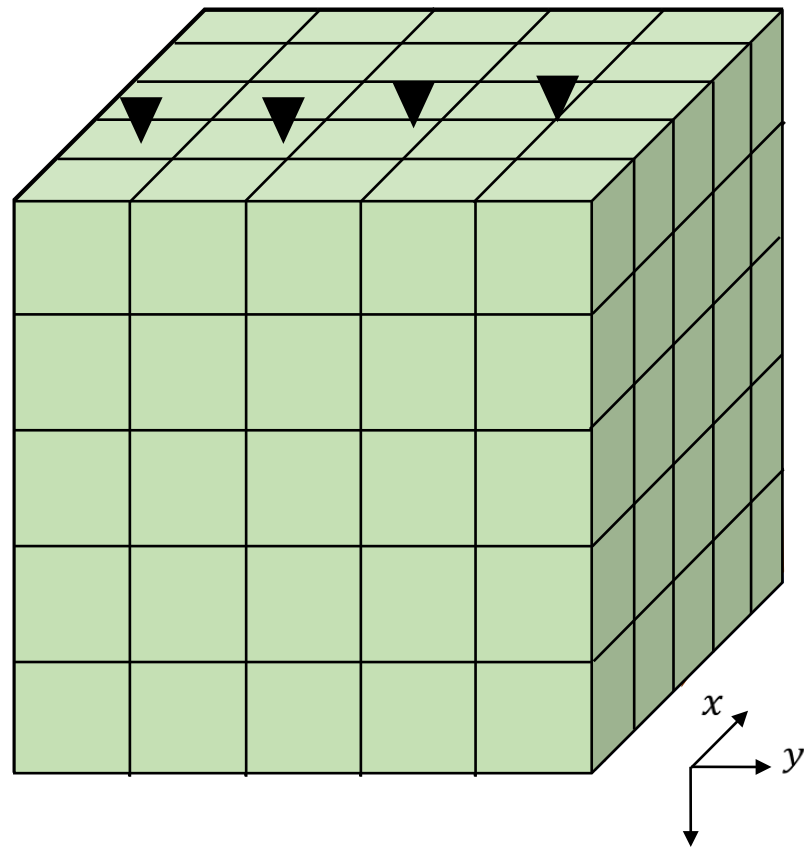
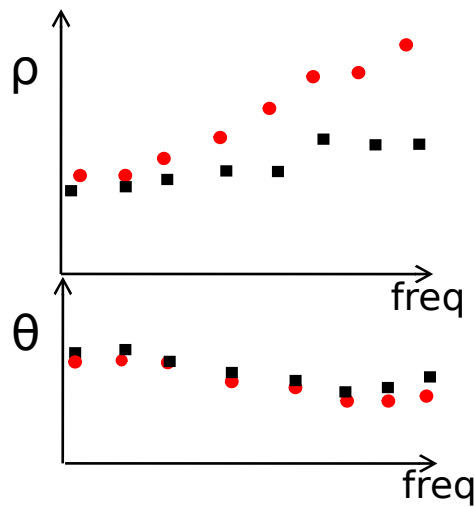
Inversão



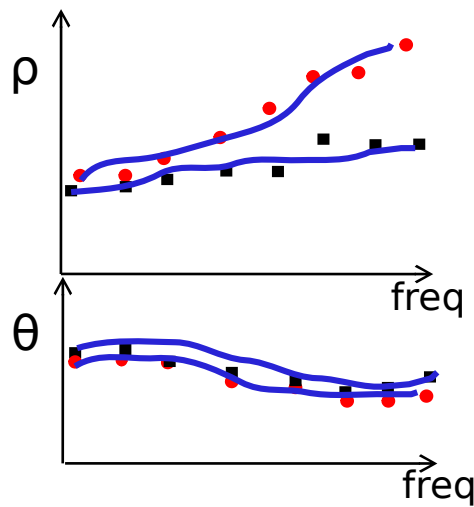
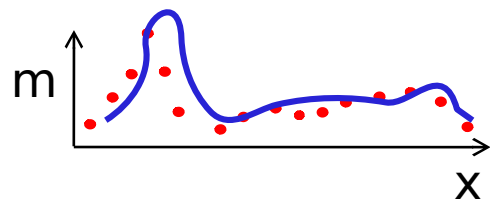
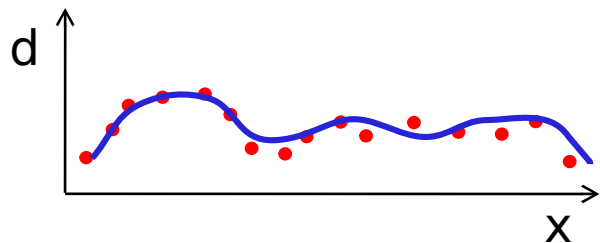
Inversão



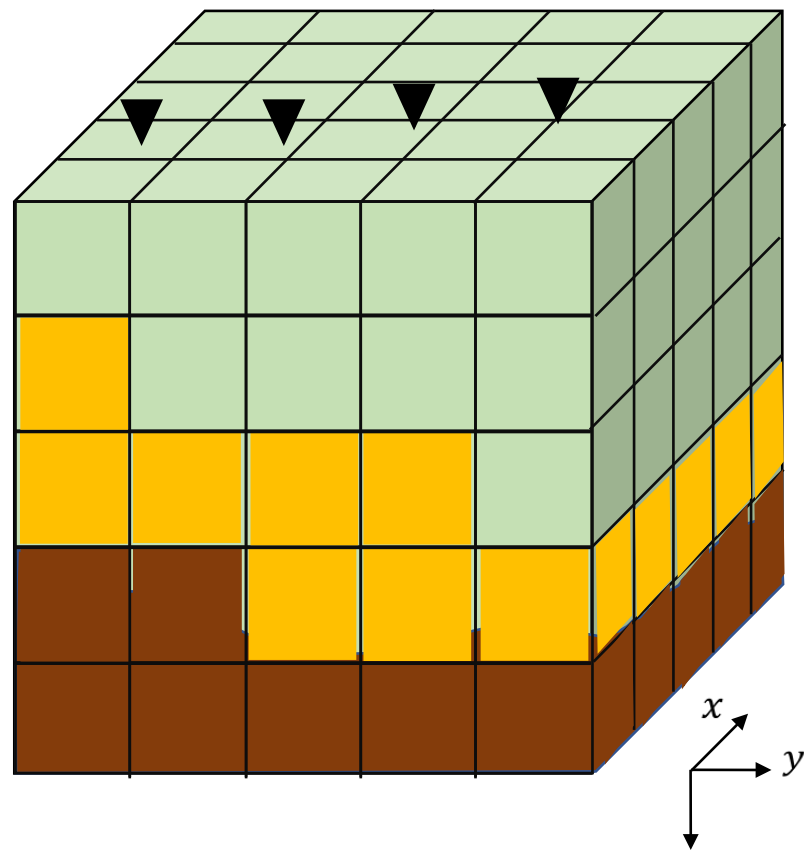
$$\mathbf{d} = \begin{bmatrix} d_1 \\ d_2 \\ \vdots \\ d_N \end{bmatrix}$$



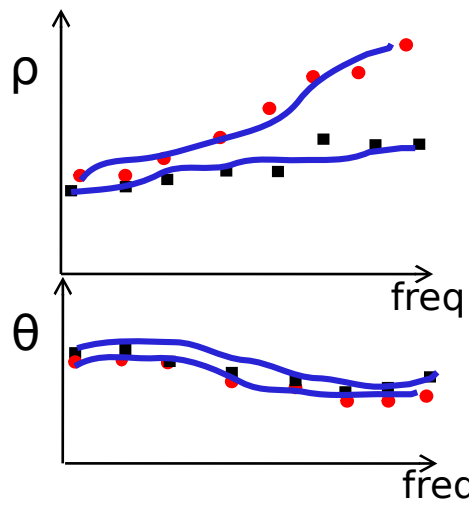
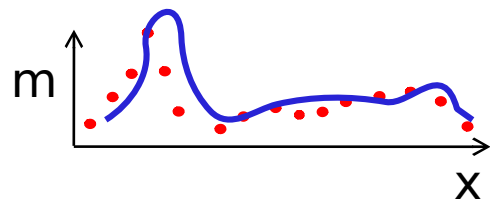
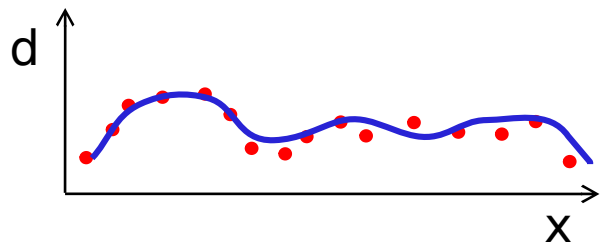
Inversão



$$\mathbf{d} = \begin{bmatrix} d_1 \\ d_2 \\ \vdots \\ d_N \end{bmatrix} \approx \mathbf{d}^p = \begin{bmatrix} d_1^p \\ d_2^p \\ \vdots \\ d_N^p \end{bmatrix}$$

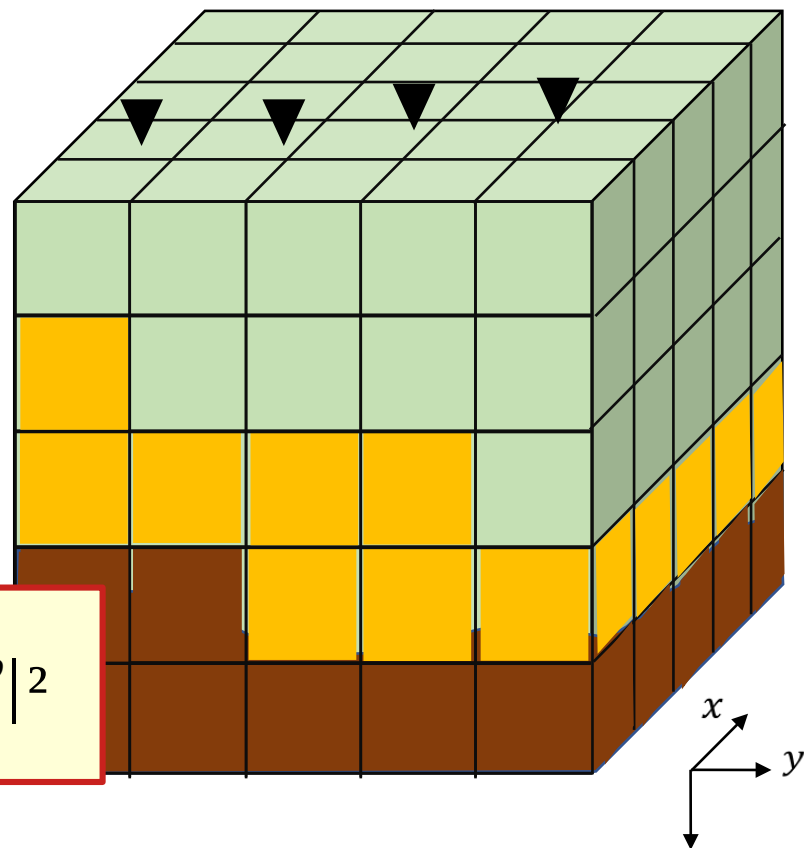


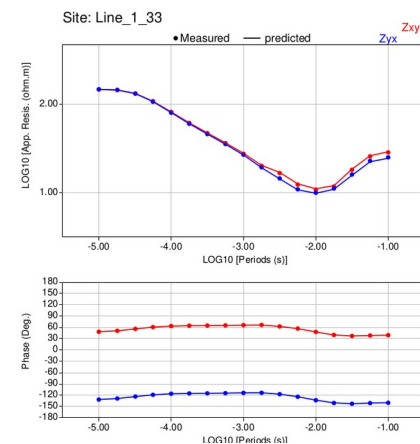
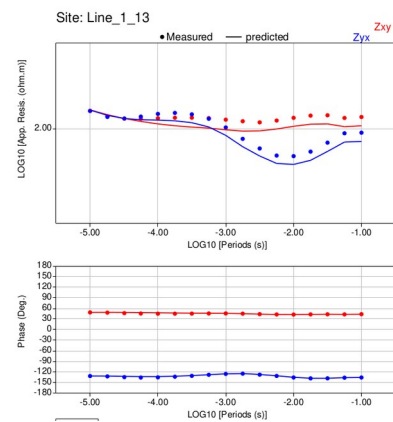
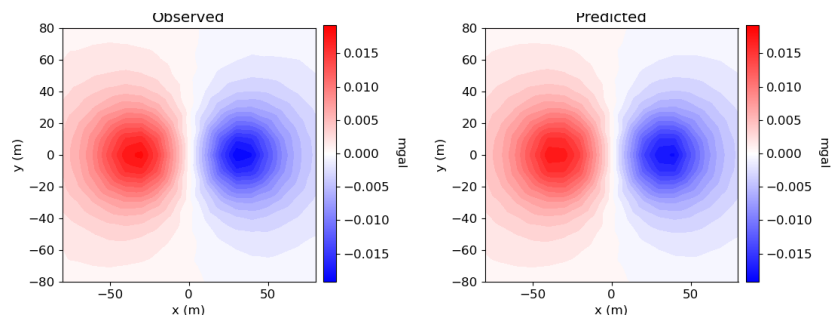
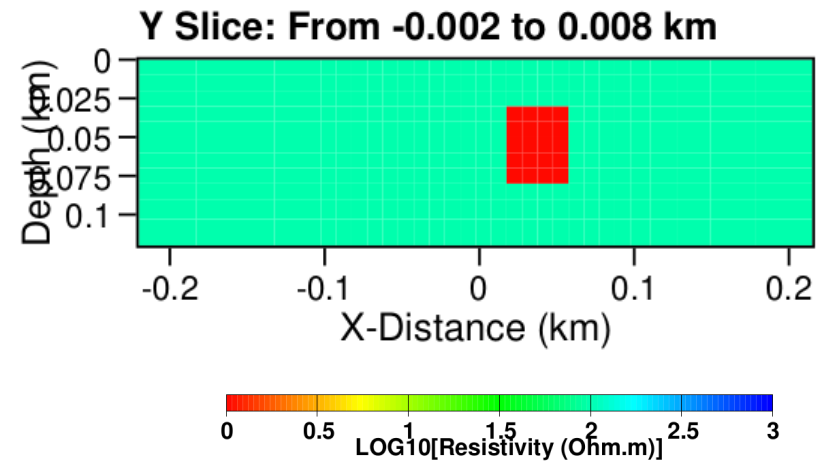
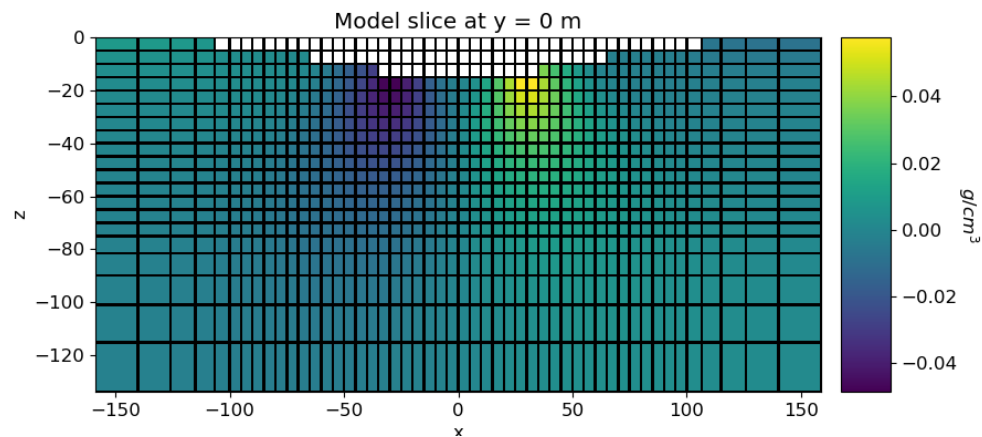
Inversão



$$\mathbf{d} = \begin{bmatrix} d_1 \\ d_2 \\ \vdots \\ d_N \end{bmatrix} \approx \mathbf{d}^p = \begin{bmatrix} d_1^p \\ d_2^p \\ \vdots \\ d_N^p \end{bmatrix}$$

$$\Phi = |\mathbf{d}^o - \mathbf{d}^p|^2$$

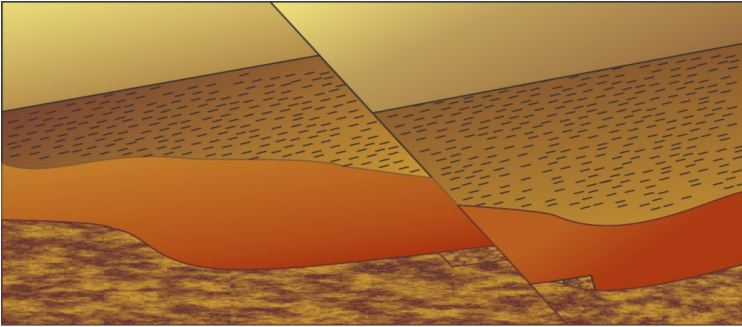




Sistema físico	Equações governantes	Grandeza física	Dados observáveis
Campo gravitacional da Terra	Lei da gravitação de Newton	Densidade	Campo gravitacional
Campo eletromagnético (na superfície)	Equações de Maxwell	Condutividade elétrica	Campo eletromagnético
Ondas sísmicas (de terremotos)	Equações da onda	Velocidade (densidade)	Velocidade da partícula

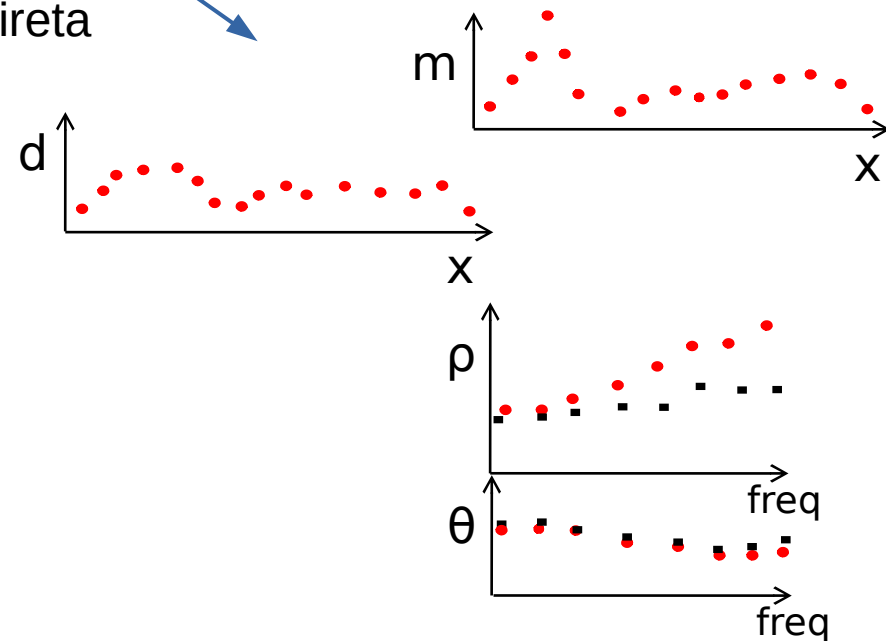
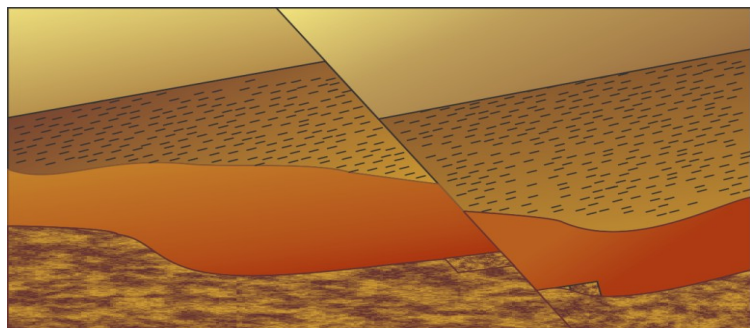
Qual a proposta da disciplina?

Qual a proposta da disciplina?

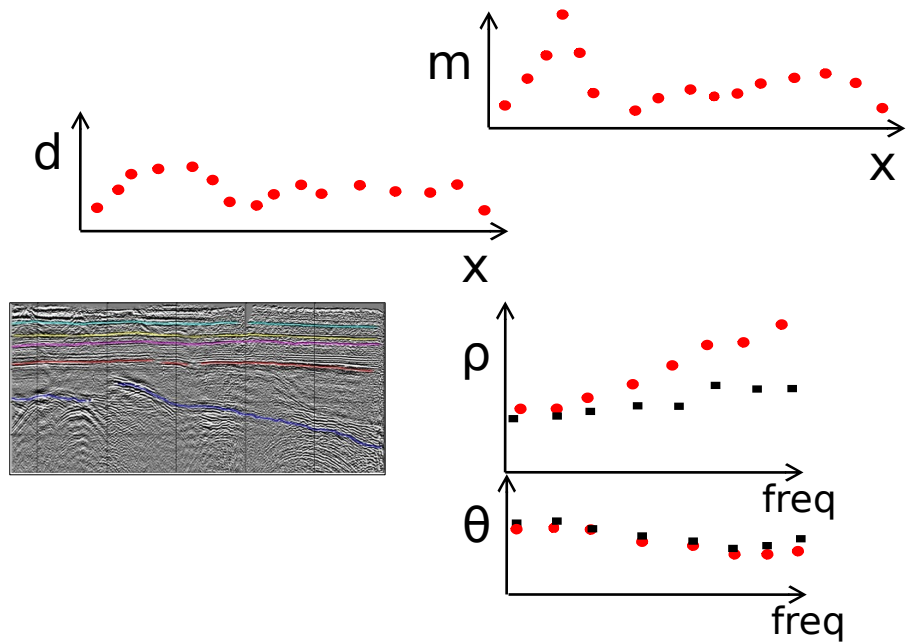


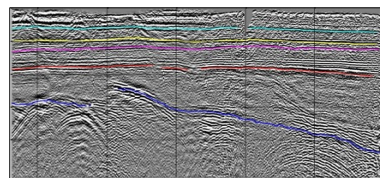
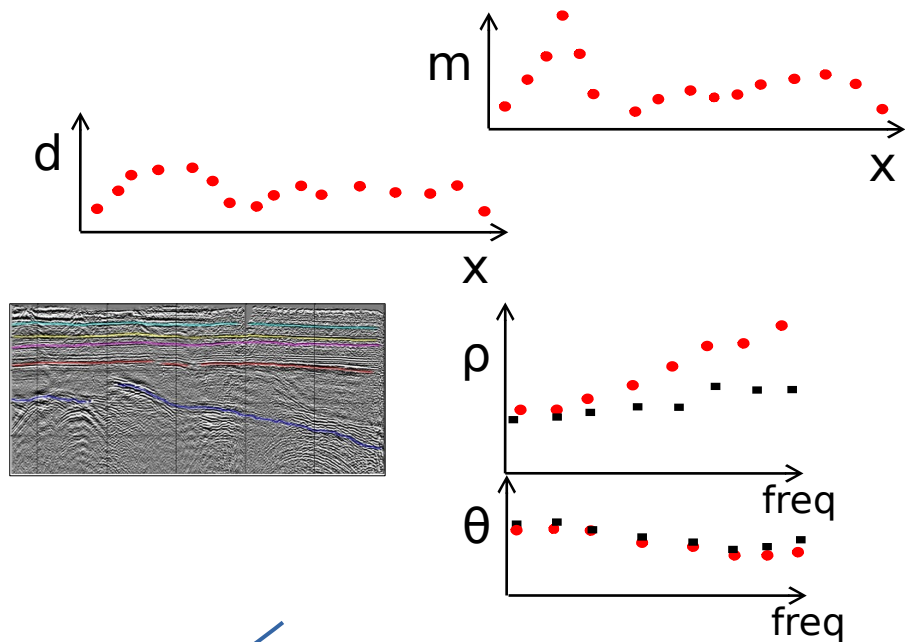
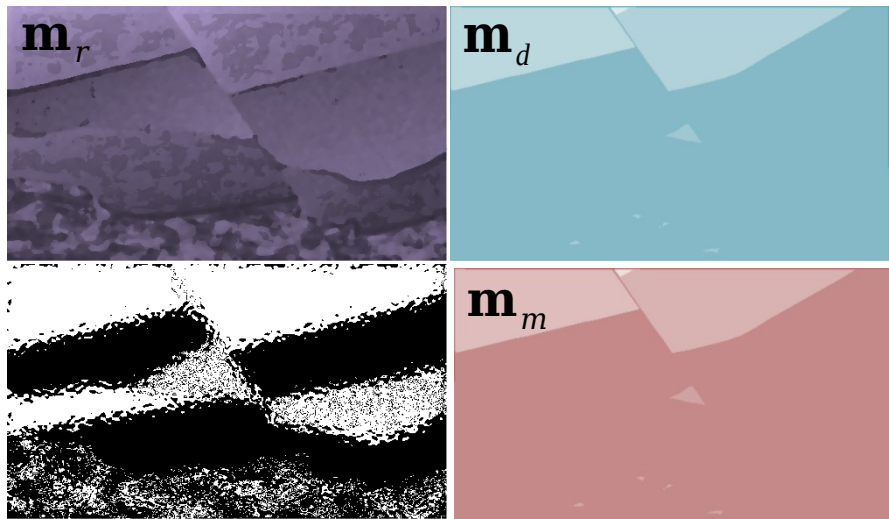
condutividade elétrica impedância acústica
magnetização
densidade

Modelagem direta

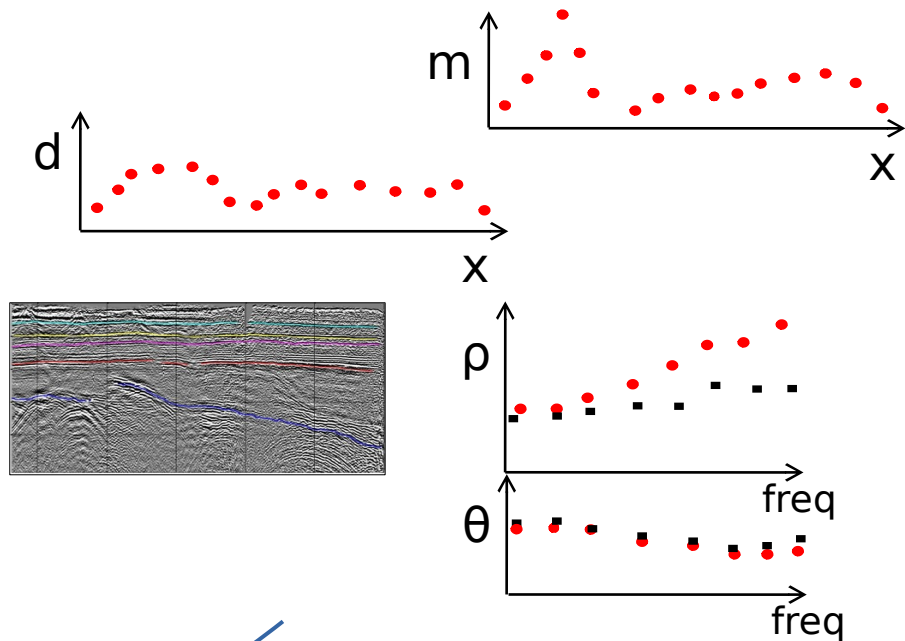
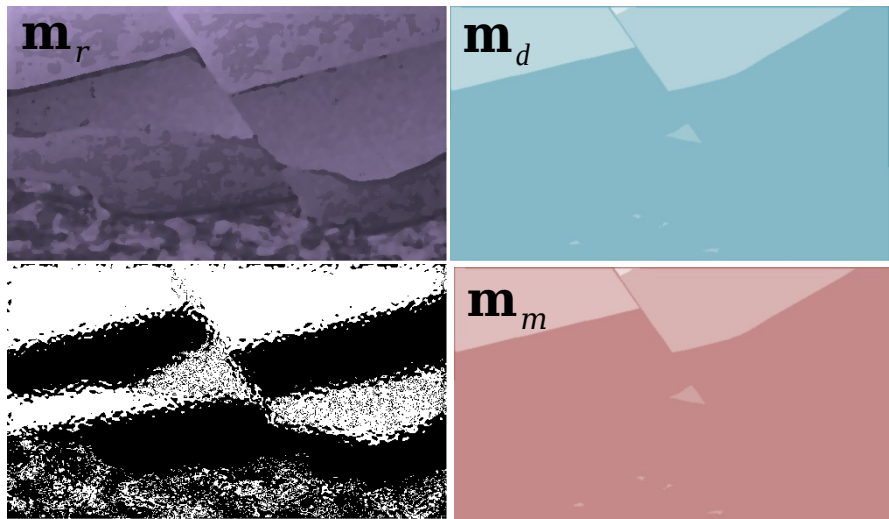
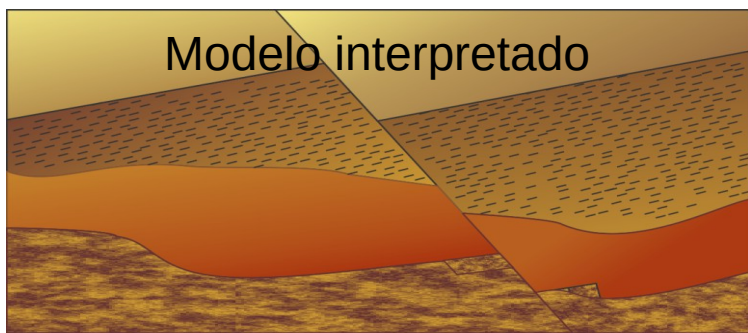


condutividade elétrica impedância acústica
magnetização
densidade





Inversão



Inversão

CSEM, MT e gradiometria no Mar Vermelho

Exploration beyond seismic: The role of electromagnetics and gravity gradiometry in deep water subsalt plays of the Red Sea

Daniele Colombo¹, Gary McNeice¹, Nickolas Raterman², Mike Zinger², Diego Rovetta¹, and Ernesto Sandoval Curiel¹

ABSTRACT

The Red Sea is characterized by thick salt sequences representing a seal for potential hydrocarbon accumulations within Tertiary formations deposited over deep basement structures. The Red Sea “salt” is characterized by halite concentrations embedded in layered evaporite sequences composed of evaporite and clastic lithologies. Salt complicates seismic exploration efforts in the Red Sea by generating vertical and lateral velocity variations that are difficult to estimate by seismic methods alone. In these conditions, the exploration challenges of independently imaging the subsalt section and provide enhanced velocity model building capabilities were addressed by a multigeophysics strategy involving marine electromagnetics (magnetotellurics and controlled source electromagnetics [CSEM]) and gravity gradiometry surveys colocated with wide azimuth seismic. Three-dimensional inversion of MT and CSEM is performed first with minimal a priori constraints and then by including variable amounts of interpretation in the starting models. The internal variations in the evaporitic overburden, the subsalt, and the basement structures are independently imaged by combined electromagnetic methods and confirmed by new drilling results. CSEM, in particular, provides unprecedented detail of the internal structures within the salt overburden while magnetotellurics provides excellent reconstruction of the base of salt and basement. Gravity gradiometry shows primary sensitivity to the basement and the corresponding 3D inversion provides density distributions structurally consistent with the resistivity volumes. The common-structure, multi-parameter models obtained from 3D inversion deliver additional aid to seismic interpreters to further derisk exploration in the Red Sea and provide additional detail to depth imaging velocity models. The reciprocal consistency of the obtained results show promises for extending the work to more analytical integration with seismic such as provided by joint geophysical inversion.

CSEM e MT no Mar Vermelho

Exploration beyond seismic: The role of electromagnetics and gravity gradiometry in deep water subsalt plays of the Red Sea

Daniele Colombo¹, Gary McNeice¹, Nickolas Raterman², Mike Zinger², Diego Rovetta¹, and Ernesto Sandoval Curiel¹

ABSTRACT

The Red Sea is characterized by thick salt sequences representing a seal for potential hydrocarbon accumulations within Tertiary formations deposited over deep basement structures. The Red Sea “salt” is characterized by halite concentrations embedded in layered evaporite sequences composed of evaporite and clastic lithologies. Salt complicates seismic exploration efforts in the Red Sea by generating vertical and lateral velocity variations that are difficult to estimate by seismic methods alone. In these conditions, the exploration challenges of independently imaging the subsalt section and provide enhanced velocity model building capabilities were addressed by a multigeophysics strategy involving marine electromagnetics (magnetotellurics and controlled source electromagnetics [CSEM]) and gravity gradiometry surveys colocated with wide azimuth seismic. Three-dimensional inversion of MT and CSEM is performed first with minimal a priori constraints and then by including variable amounts of interpretation in the starting models. The internal variations in the evaporitic overburden, the subsalt, and the basement structures are independently imaged by combined electromagnetic methods and confirmed by new drilling results. CSEM, in particular, provides unprecedented detail of the internal structures within the salt overburden while magnetotellurics provides excellent reconstruction of the base of salt and basement. Gravity gradiometry shows primary sensitivity to the basement and the corresponding 3D inversion provides density distributions structurally consistent with the resistivity volumes. The common-structure, multi-parameter models obtained from 3D inversion deliver additional aid to seismic interpreters to further derisk exploration in the Red Sea and provide additional detail to depth imaging velocity models. The reciprocal consistency of the obtained results show promises for extending the work to more analytical integration with seismic such as provided by joint geophysical inversion.

Integração

EM (CSEM e MT)
Sismica
Gradiometria

CSEM e MT no Mar Vermelho

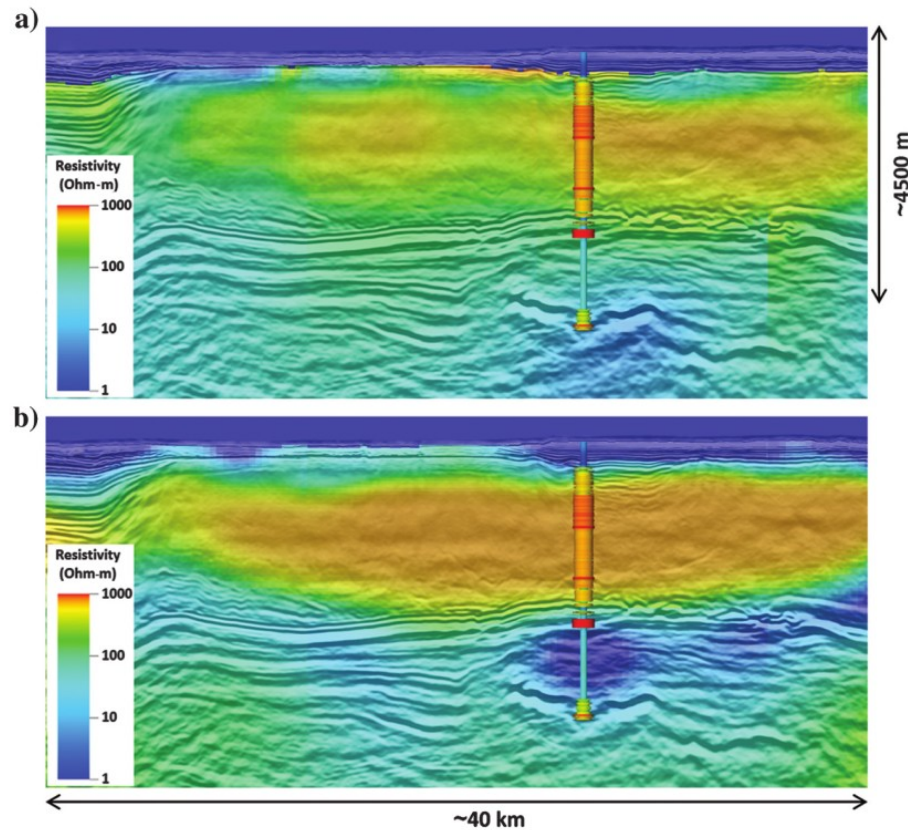
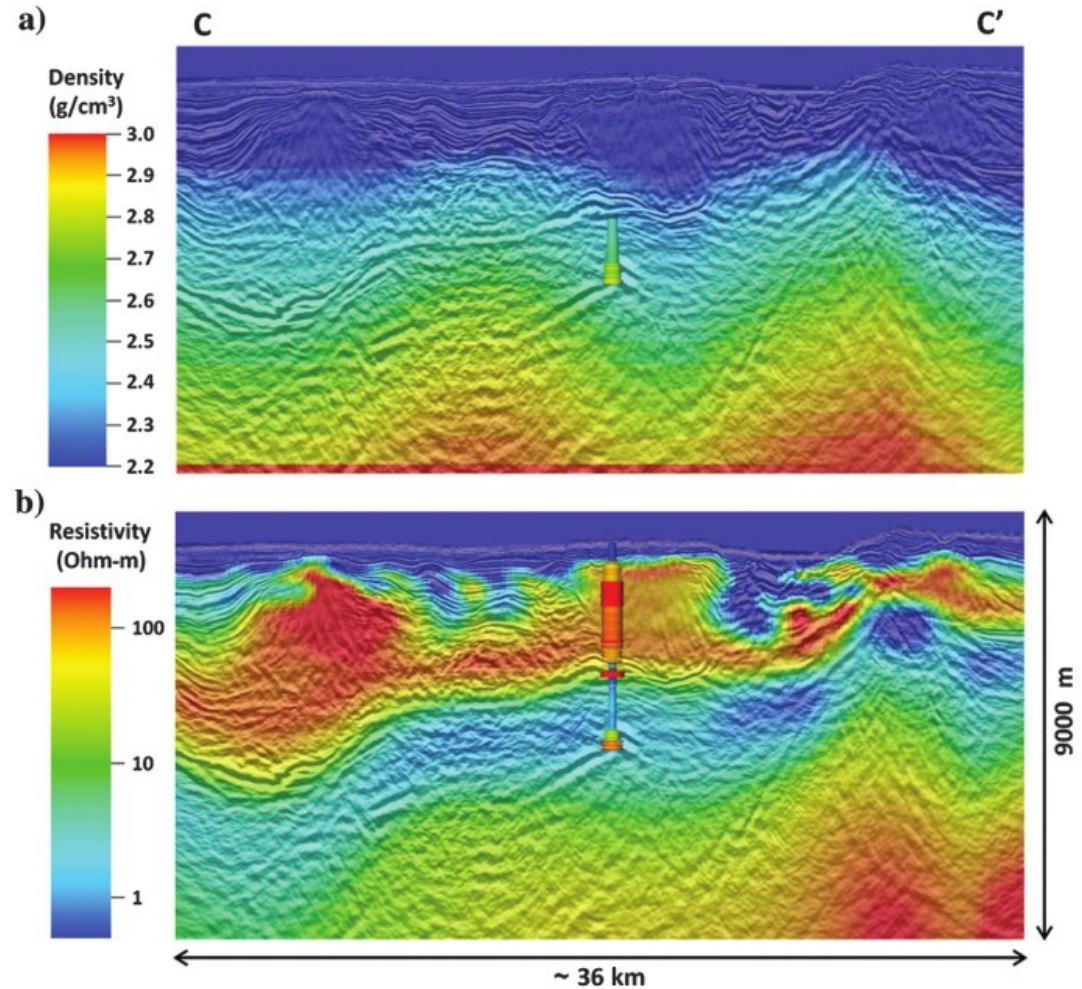


Figure 8. Data-driven 3D CSEM inversion in area 1 from different starting models: (a) half-space resistivity start model, i.e., below top LES; (b) start model is the 3D MT inversion model. In both cases, the background resistivity and the log use the same color scale.

Modelos CSEM fornecem informações sobre as camadas evaporáticas e sedimentos de subsal.

CSEM e MT no Mar Vermelho

Figure 17. Common structure model from area 1: (a) 3D gravity inversion showing primary sensitivity to the basement structures; (b) 3D CSEM inversion from the MT start model detailing the internal structures of the LES and halite.



Conteúdo

- <https://github.com/florasolon/disciplina-integracao-geofisica>



The screenshot shows the GitHub interface for the repository 'disciplina-integracao-geofisica' by user 'florasolon'. At the top, there are navigation buttons for 'main', '1 branch', and '0 tags', along with 'Go to file', 'Add file', and 'Code' buttons. Below this, a commit history table shows a recent commit by 'florasolon' titled 'Update README.md' with a commit hash of '94ca7c1' and a timestamp of '23 hours ago'. The commit message 'Update README.md' is also visible. The main content area displays the 'README.md' file, which has an edit icon in the top right corner. The README content includes a title 'Tópicos especiais - Integração de Métodos Geofísicos', a description of the discipline, the responsible person 'Flora F. Solon', a legal notice, and a list of topics.

main 1 branch 0 tags Go to file Add file Code

florasolon Update README.md 94ca7c1 23 hours ago 10 commits

README.md Update README.md 23 hours ago

README.md

Tópicos especiais - Integração de Métodos Geofísicos

Disciplina oferecida no Programa de Pós Graduação em Dinâmica dos Oceanos e da Terra da Universidade Federal Fluminense

Responsável: Flora F. Solon

Aviso Legal: O material disponibilizado neste repositório está em constante desenvolvimento e a UFF não tem nenhuma responsabilidade sobre o seu conteúdo.

Tópicos

- Apresentação da disciplina e objetivos
- Métodos geofísicos
 - Revisão de métodos geofísicos
 - Métodos eletromagnéticos (MT)
 - Conceitos básicos
 - Aspectos teóricos
 - Equações de Maxwell
 - Propagação de ondas em meios geológicos
 - Tensor de impedância
 - Problema direto
 - Análise dos dados
 - Problema inverso
 - Métodos potenciais (Gravimetria e magnetometria)

Bibliografía métodos geofísicos

Applied Geophysics - William Murray Telford, L. P. Geldart, Robert E. Sheriff, Cambridge University Press, 1990 - 770 p

An Introduction to Geophysical Exploration - Philip Kearey, Michael Brooks, Ian Hill, John Wiley & Sons, 2013 - 272 p

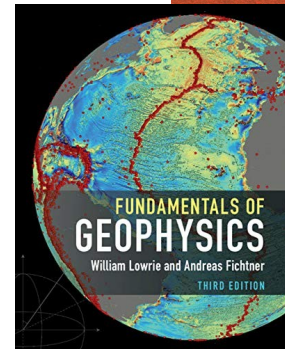
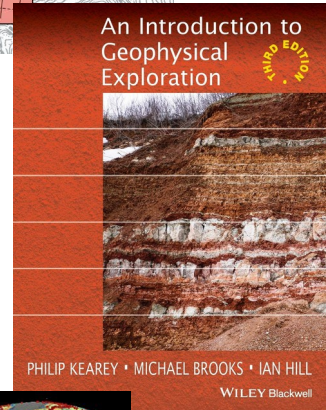
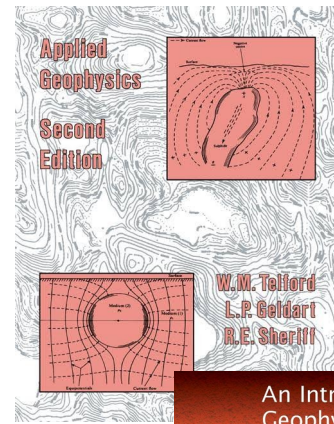
Fundamentals of Geophysics, William Lowrie, Cambridge University Press, 1997 - 354 p

Geophysical Data Analysis, Max A. Meju, Society of Exploration Geophysicists, 1994 P 305

Near-Surface Geophysics , Dwain K. Butler, Society of Exploration Geophysicists, 2005, 758 p

A Student's Guide to Geophysical Equations, William Lowrie, Cambridge University Press, 2011

The Solid Earth: An Introduction to Global Geophysics, C. M. R. Fowler, Cambridge University Press, 2004



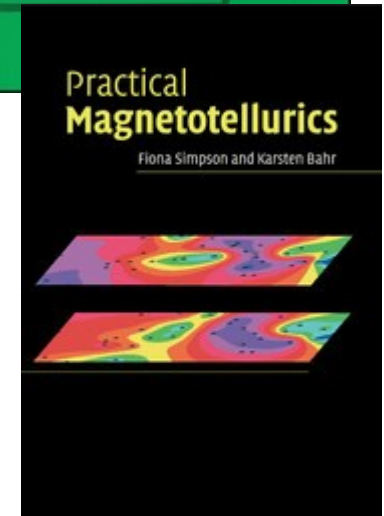
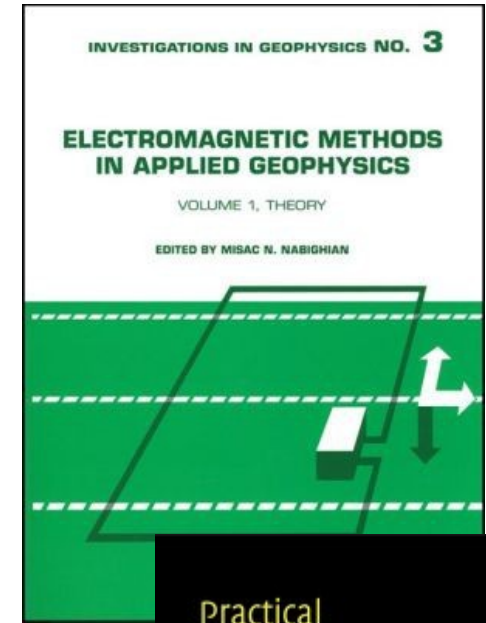
Bibliografia métodos EM

Misac N. Nabighian, (1988),
[Electromagnetic Methods in Applied Geophysics: Volume 1, Theory](#)

Fitzpatrick, R. Maxwell's Equations and the Principles of Electromagnetism.
Physics - Infinity Science Press, 1st Edition

Cockett, R., Kang, S., Heagy, L. J., Pidlisecky, A., & Oldenburg, D. W. (2015).
SimPEG: An open source framework for simulation and gradient based
parameter estimation in geophysical applications. Computers & Geosciences.

Simpson, F. e Bahr, K. 2005, Practical Magnetotellurics



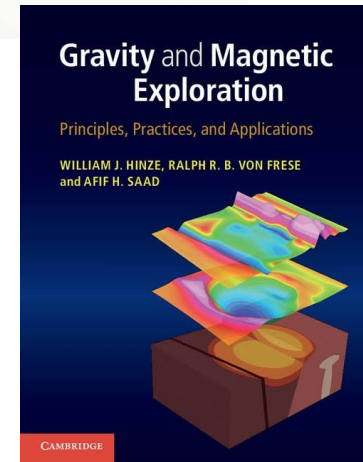
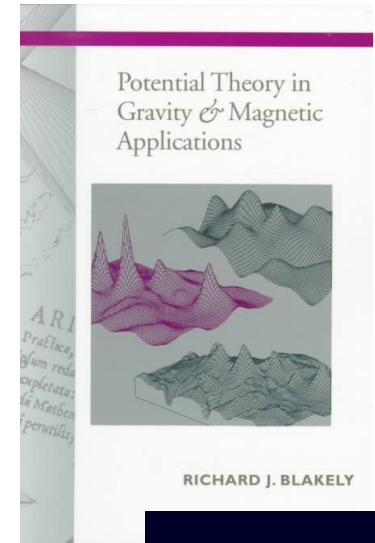
Bibliografia métodos potenciais

Richard J. Blakely (1996), Potential theory in gravity and magnetic applications

Ralph R. B. von Frese, Afif H. Saad, William J. Hinze (2013), Gravity and Magnetic Exploration Principles, Practices, and Applications

Langel, R. A. e W. J. Hinze, 1998, The magnetic field of the Earth's lithosphere: the satellite perspective. Cambridge University Press.

Kellogg, O. D. 1967. Foundations of Potential Theory. Springer-Verlag.



Avaliação

- Seminário - P1
- Tarefas ao longo do curso - pontos extras (pe)
- Projeto Final - P2

$$\text{Nota final} = \frac{(P1 + P2)}{2} + pe$$